

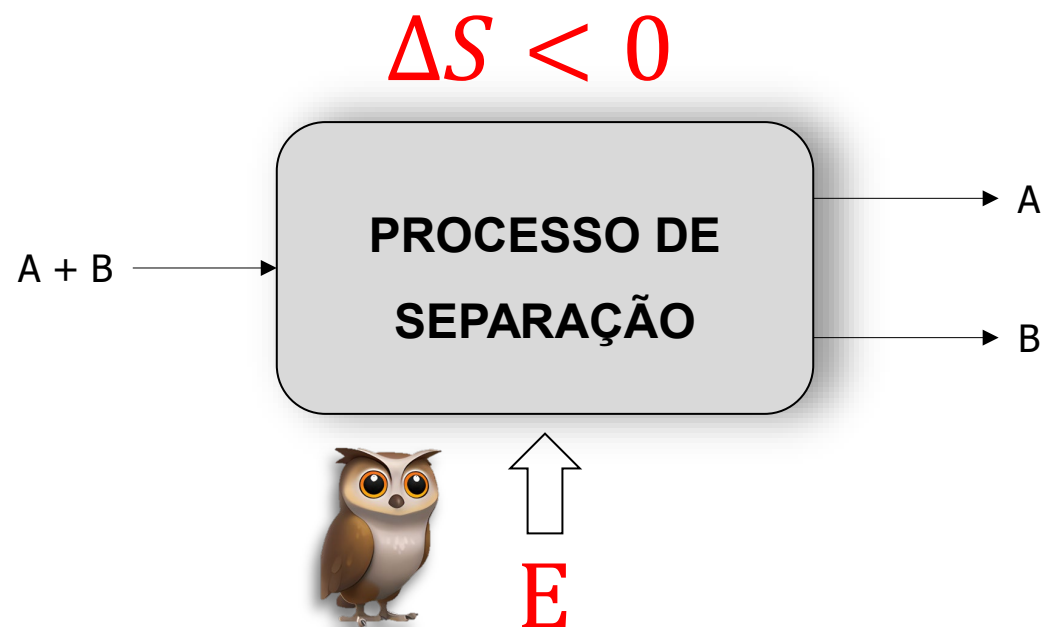
CURSO INTENSIVO

TERMODINÂMICA E APLICAÇÕES DE ENGENHARIA

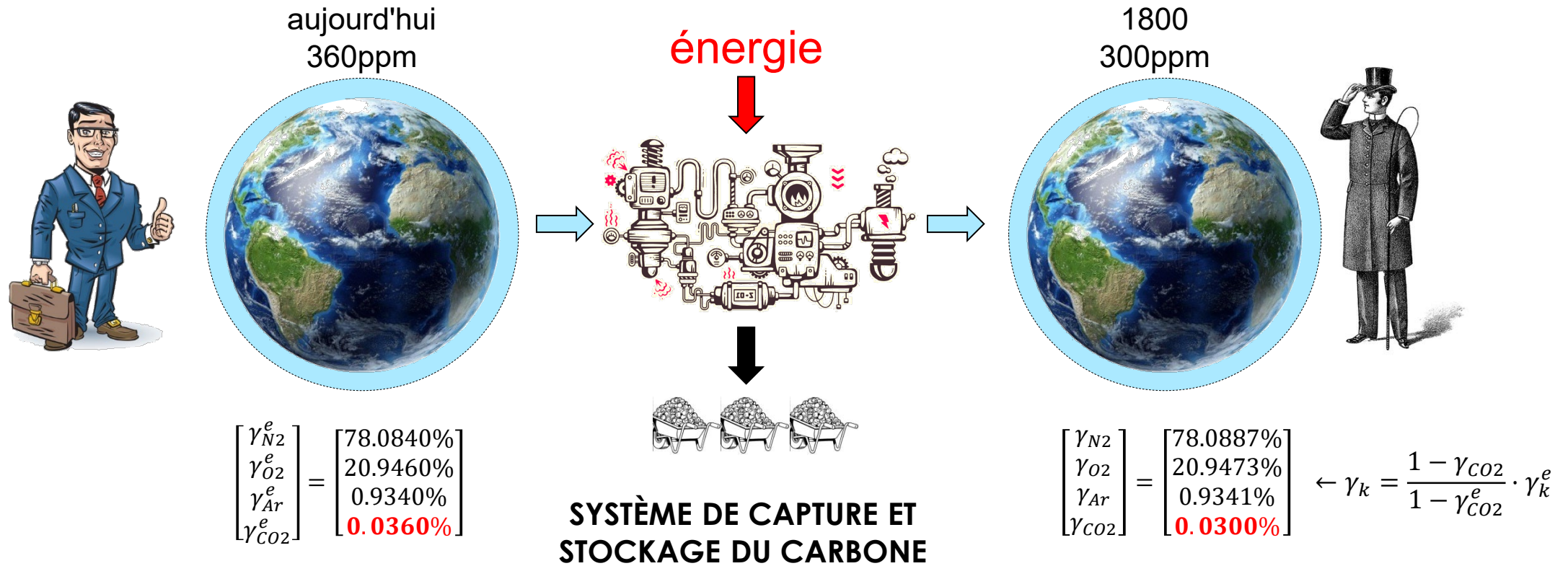
EXERGIA – Processos de Separação evaporadores multiestágio

Paulo Seleghim Jr.
Universidade de São Paulo

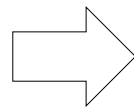
Attention to
Filler Words



SYSTÈMES DE CAPTURE ET DE STOCKAGE DIRECT DU CARBONE



$$\sum \left(1 - \frac{T_0}{T_k}\right) \dot{Q}_k - \left(\dot{W} - P_0 \frac{dV_{vc}}{dt}\right) + \sum \dot{m}_e x_e - \sum \dot{m}_s x_s - \dot{X}_{dest} = \frac{dX_{vc}}{dt}$$



$$w = RT_0 \cdot \sum_k \gamma_k \cdot [\ln(\gamma_{e,k}) - \ln(\gamma_k)]$$

$$\begin{bmatrix} \gamma_{N_2}^e \\ \gamma_{O_2}^e \\ \gamma_{Ar}^e \\ \gamma_{CO_2}^e \end{bmatrix} = \begin{bmatrix} 78.0840\% \\ 20.9460\% \\ 0.9340\% \\ \mathbf{0.0360\%} \end{bmatrix}$$

$$w = RT_0 \cdot \sum_k \gamma_k \cdot [\ln(\gamma_{e,k}) - \ln(\gamma_k)]$$

$$\begin{bmatrix} \gamma_{N_2} \\ \gamma_{O_2} \\ \gamma_{Ar} \\ \gamma_{CO_2} \end{bmatrix} = \begin{bmatrix} 78.0887\% \\ 20.9473\% \\ 0.9341\% \\ \mathbf{0.0300\%} \end{bmatrix}$$

$$w = 8.314(25 + 273.15)(0.780887[\ln(0.780887) - \ln(0.780840)] + 0.209473[\ln(0.209473) - \ln(0.209460)] \dots$$

universal
gas constant

$$\dots 0.009341[\ln(0.009341) - \ln(0.009340)] + 0.000300[\ln(0.000300) - \ln(0.000360)])$$

$$w_{\min} = -0.01563 \text{ Joules/mol}$$

molar mas of
atmospheric air

total mas of
earth's atmosphere

$$W_{\min} = -0.01563 \frac{\text{Joules}}{\text{mol}} \cdot \frac{1 \text{ mol}}{28.97 \text{ g}} \cdot 5.1480 \times 10^{18} \text{ kg} = -2.777 \times 10^{15} \text{ kJoules}$$

$$W_{\text{world}} \approx 96 \times 10^{15} \text{ kJoules}$$

world's electricity
consumption

$W_{\min} \approx 11 \text{ days of power generation !!!}$

Motivação: qual é o menor dispêndio de exergia para promover a separação de componentes de uma mistura ?

Attention to
Filler Words

Separação de um sólido dissolvido em um líquido



Plantas de dessalinização

Egito->



Separação de um sólido dissolvido em um líquido

Sistema de
Evaporação em
multiestágios
concentradores
de caldo



Tratamento de caldo na usina Ouroeste, da Bunge

process drive
process heat

exergia

Brix 15°

exergia

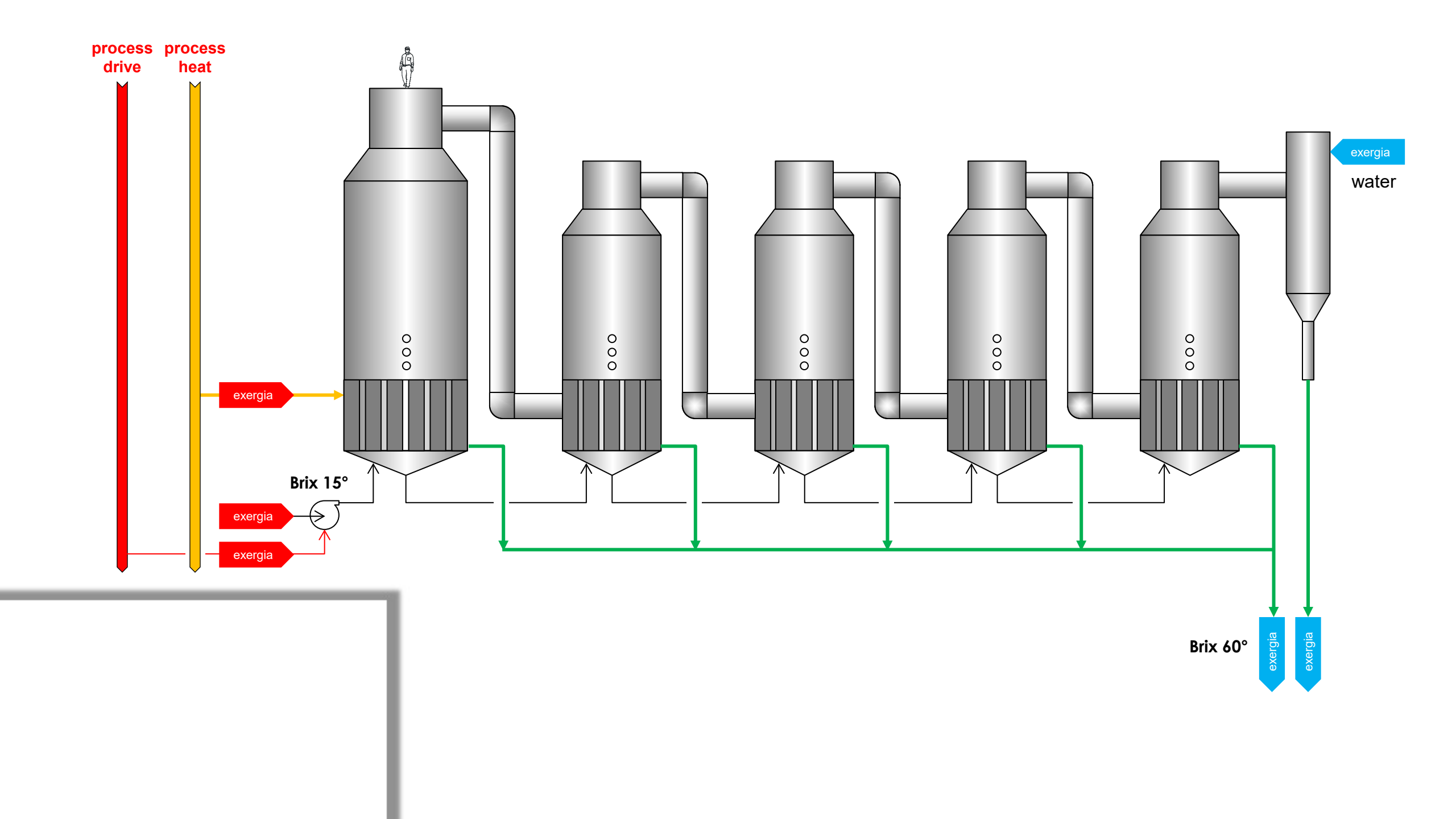
exergia

exergia
water

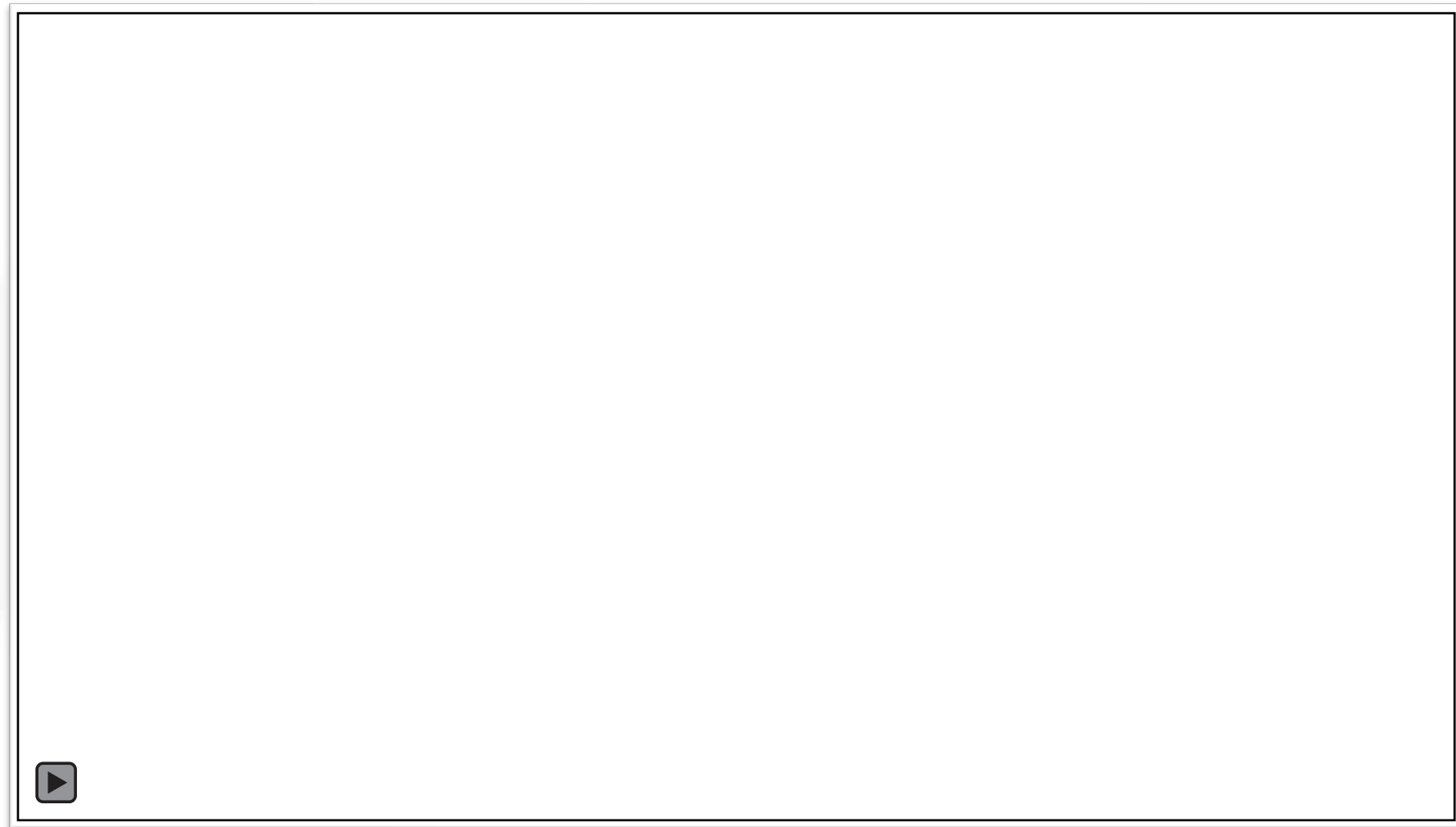
Brix 60°

exergia

exergia

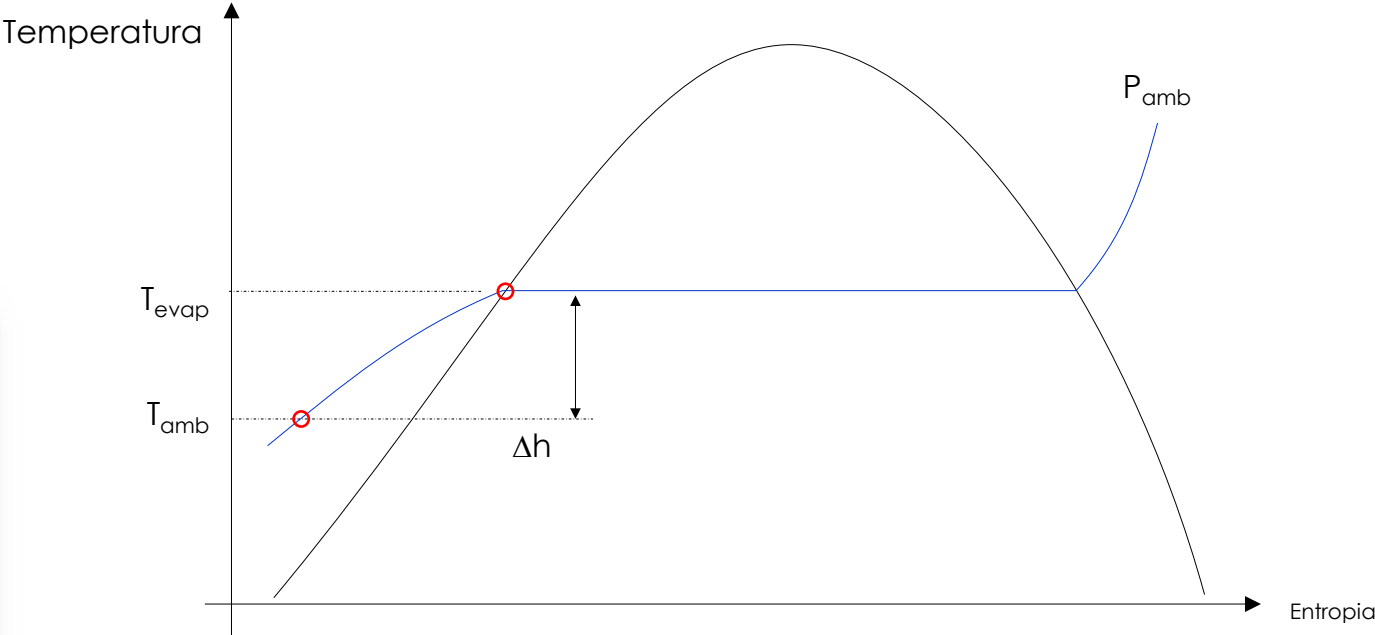


Evaporação de um líquido a baixa temperatura...



grain
189K subscribers

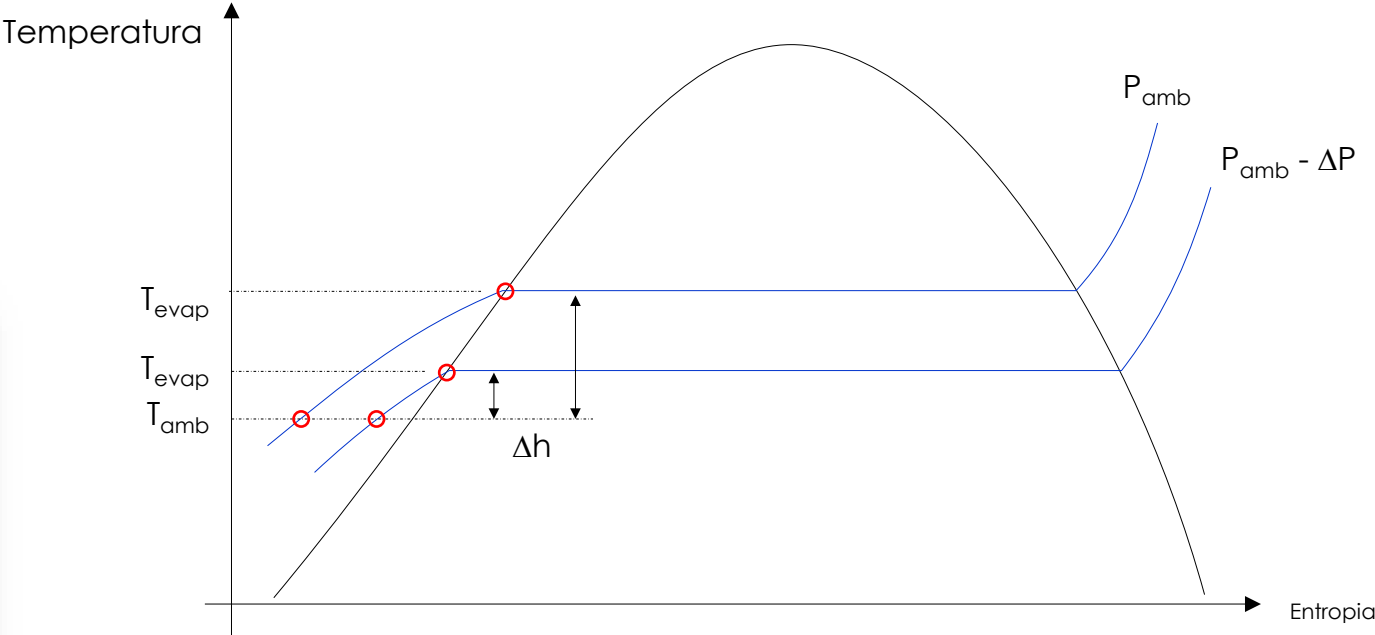
Evaporação de um líquido a baixa temperatura...



1: water: V/L sat. p=0,1 to 1, bar

	Temperature (°C)	Pressure (bar)	Liquid Density (kg/m³)	Vapor Density (kg/m³)	Liquid Volume (m³/kg)	Vapor Volume (m³/kg)	Liquid Int. Energy (kJ/kg)	Vapor Int. Energy (kJ/kg)	Liquid Enthalpy (kJ/kg)	Vapor Enthalpy (kJ/kg)	Liquid Entropy (kJ/kg-K)	Vapor Entropy (kJ/kg-K)
1	45.806	0,10000	989,83	0,068166	0,0010103	14,670	191,80	2437,2	191,81	2583,9	0,64920	8,1488
2	60,058	0,20000	983,13	0,13075	0,0010172	7,6480	251,40	2456,0	251,42	2608,9	0,83202	7,9072
3	69,095	0,30000	978,25	0,19126	0,0010222	5,2284	289,24	2467,7	289,27	2624,5	0,94407	7,7675
4	75,857	0,40000	974,30	0,25044	0,0010264	3,9930	317,58	2476,3	317,62	2636,1	1,0261	7,6690
5	81,317	0,50000	970,94	0,30864	0,0010299	3,2400	340,49	2483,2	340,54	2645,2	1,0912	7,5930
6	85,926	0,60000	967,99	0,36607	0,0010331	2,7317	359,84	2489,0	359,91	2652,9	1,1454	7,5311
7	89,932	0,70000	965,34	0,42287	0,0010359	2,3648	376,68	2493,9	376,75	2659,4	1,1921	7,4790
8	93,486	0,80000	962,93	0,47914	0,0010385	2,0871	391,63	2498,2	391,71	2665,2	1,2330	7,4339
9	96,687	0,90000	960,70	0,53494	0,0010409	1,8694	405,10	2502,1	405,20	2670,3	1,2696	7,3943
10	99,606	1,0000	958,63	0,59034	0,0010432	1,6939	417,40	2505,6	417,50	2674,9	1,3028	7,3588

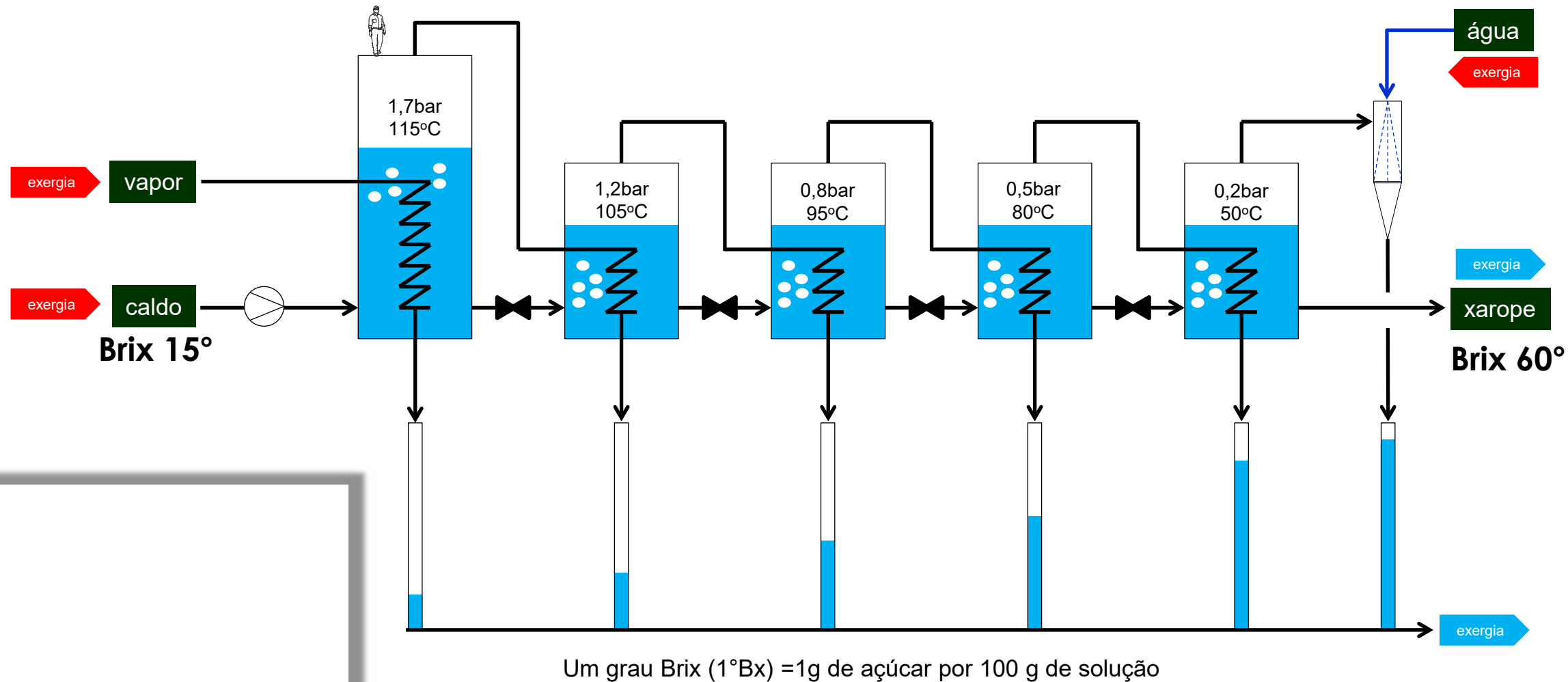
Evaporação de um líquido a baixa temperatura...



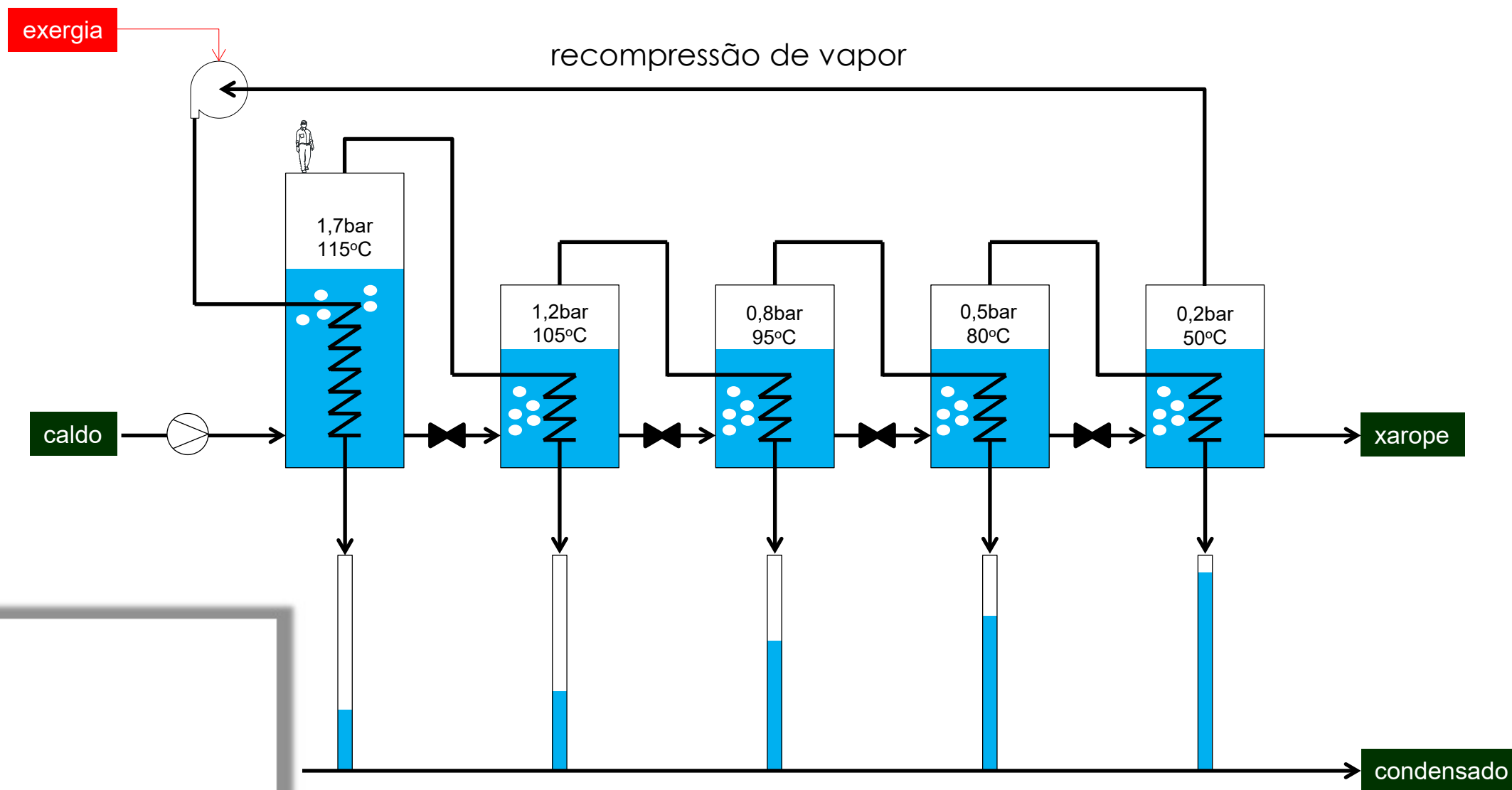
1: water: V/L sat. p=0,1 to 1, bar

	Temperature (°C)	Pressure (bar)	Liquid Density (kg/m³)	Vapor Density (kg/m³)	Liquid Volume (m³/kg)	Vapor Volume (m³/kg)	Liquid Int. Energy (kJ/kg)	Vapor Int. Energy (kJ/kg)	Liquid Enthalpy (kJ/kg)	Vapor Enthalpy (kJ/kg)	Liquid Entropy (kJ/kg-K)	Vapor Entropy (kJ/kg-K)
1	45.806	0.10000	989.83	0.068166	0.0010103	14.670	191.80	2437.2	191.81	2583.9	0.64920	8.1488
2	60.058	0.20000	983.13	0.13075	0.0010172	7.6480	251.40	2456.0	251.42	2608.9	0.83202	7.9072
3	69.095	0.30000	978.25	0.19126	0.0010222	5.2284	289.24	2467.7	289.27	2624.5	0.94407	7.7675
4	75.857	0.40000	974.30	0.25044	0.0010264	3.9930	317.58	2476.3	317.62	2636.1	1.0261	7.6690
5	81.317	0.50000	970.94	0.30864	0.0010299	3.2400	340.49	2483.2	340.54	2645.2	1.0912	7.5930
6	85.926	0.60000	967.99	0.36607	0.0010331	2.7317	359.84	2489.0	359.91	2652.9	1.1454	7.5311
7	89.932	0.70000	965.34	0.42287	0.0010359	2.3648	376.68	2493.9	376.75	2659.4	1.1921	7.4790
8	93.486	0.80000	962.93	0.47914	0.0010385	2.0871	391.63	2498.2	391.71	2665.2	1.2330	7.4339
9	96.687	0.90000	960.70	0.53494	0.0010409	1.8694	405.10	2502.1	405.20	2670.3	1.2696	7.3943
10	99.606	1.0000	958.63	0.59034	0.0010432	1.6939	417.40	2505.6	417.50	2674.9	1.3028	7.3588

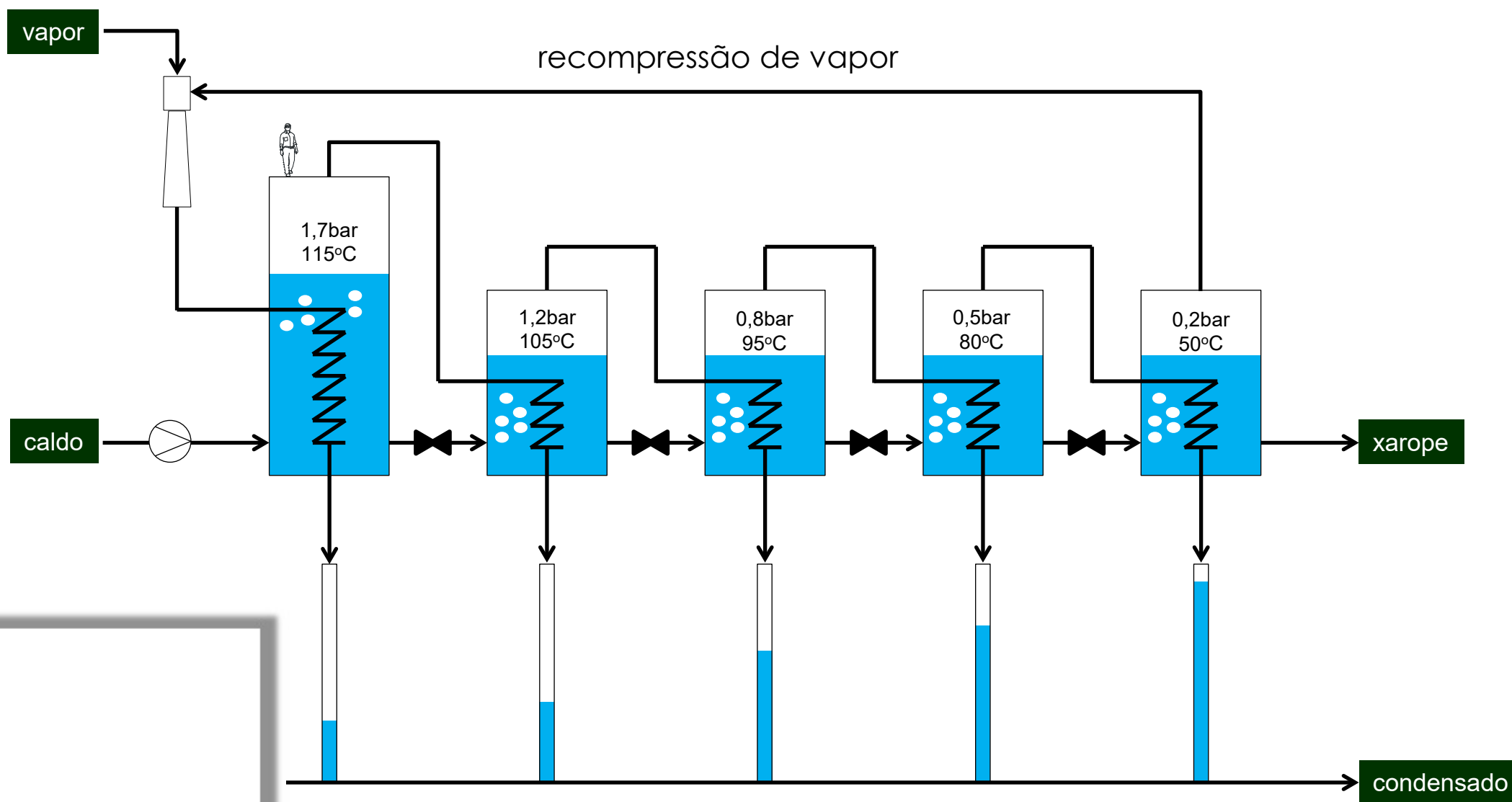
Sistema de Evaporação em Multiestágios ($T \downarrow$) – concentradores de caldo



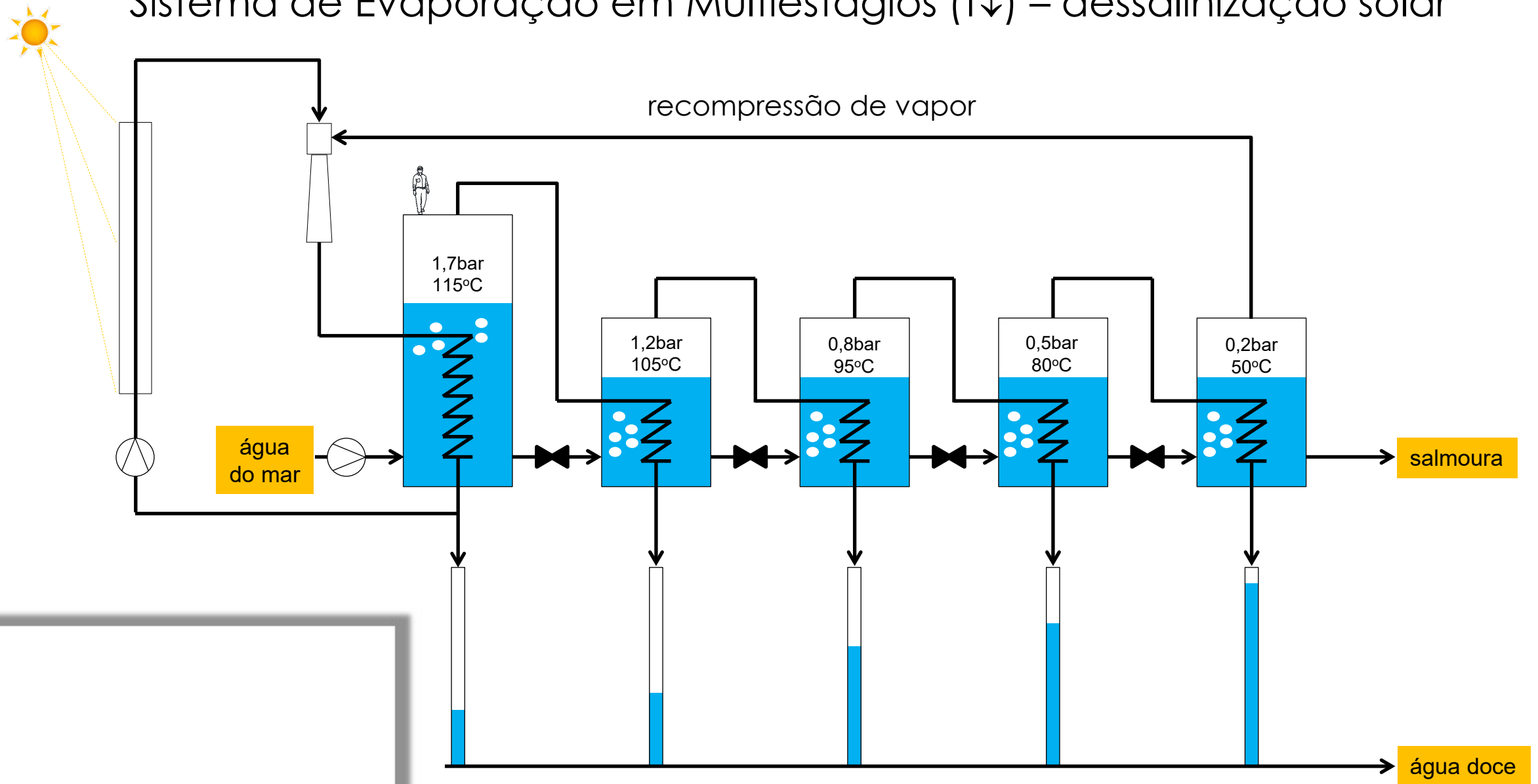
Sistema de Evaporação em Multiestágios ($T \downarrow$) – concentradores de caldo



Sistema de Evaporação em Multiestágios ($T \downarrow$) – concentradores de caldo

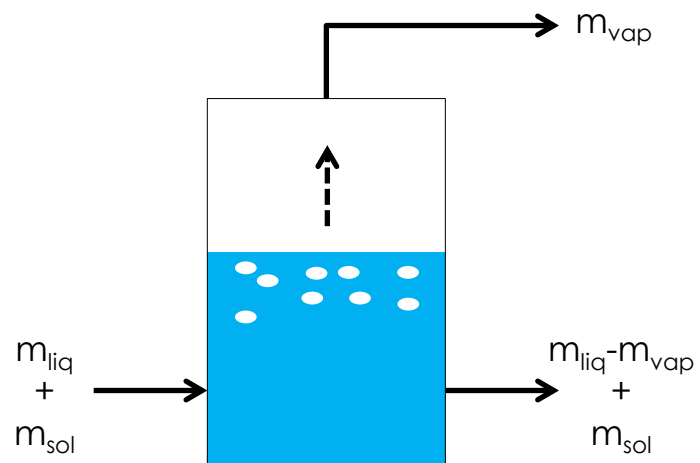


Sistema de Evaporação em Multiestágios ($T \downarrow$) – dessalinização solar



Sistema de Evaporação em Multiestágios ($T \downarrow$) – concentradores de caldo

Remoção da água do caldo para aumentar a concentração (15° para 60° aprox.)



Concentração na entrada

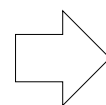
$$C_e = \frac{m_{\text{sol}}}{m_{\text{sol}} + m_{\text{liq}}}$$

Concentração na saída

$$C_s = \frac{m_{\text{sol}}}{m_{\text{sol}} + (m_{\text{liq}} - m_{\text{vap}})}$$

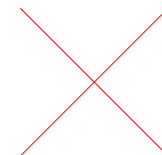
Temperatura de ebulição:

a presença de sólidos dissolvidos produz aumento na temperatura de ebulição

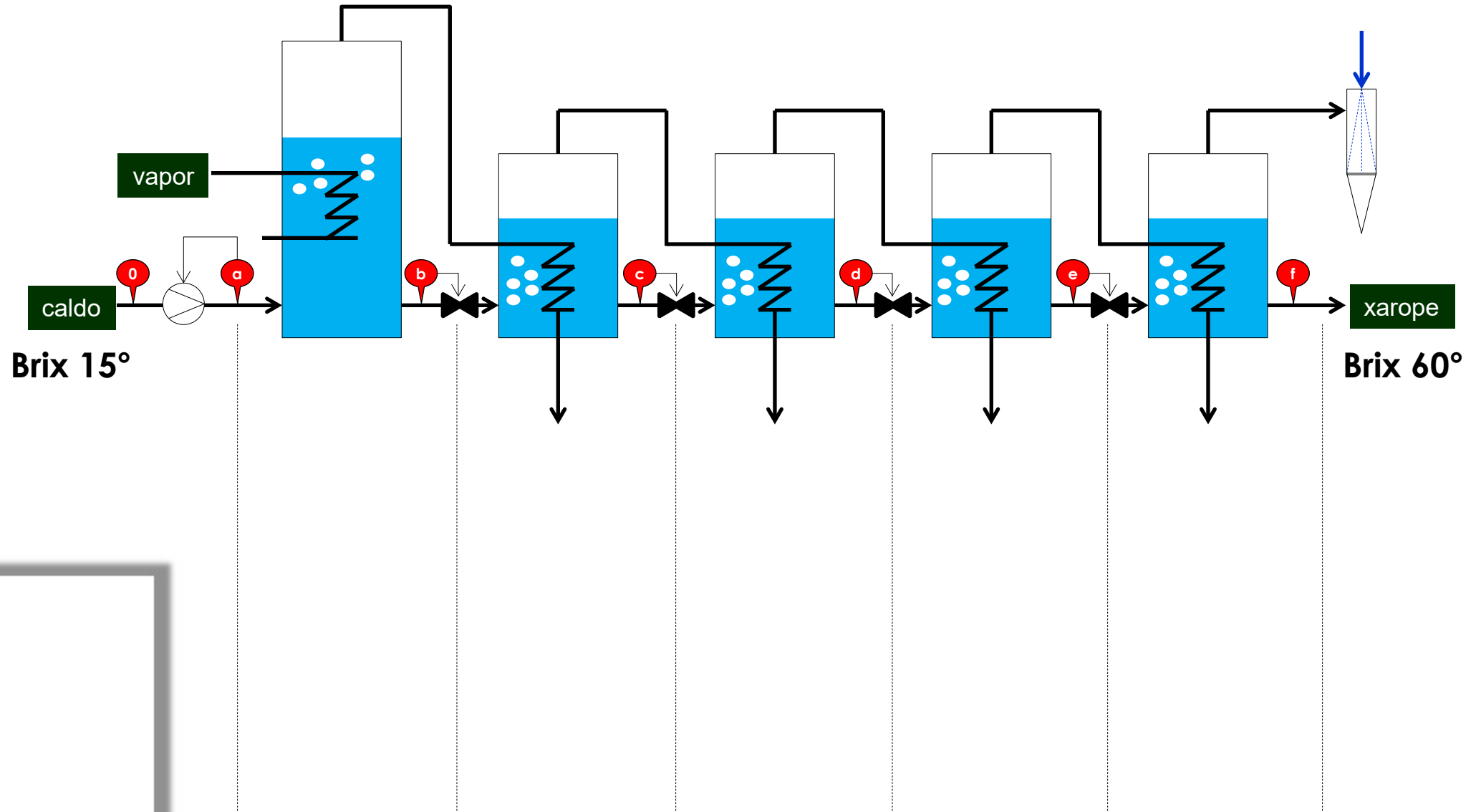


$$\Delta T_{\text{ebulição}} \cong \frac{2 \cdot C}{100\% - C}$$

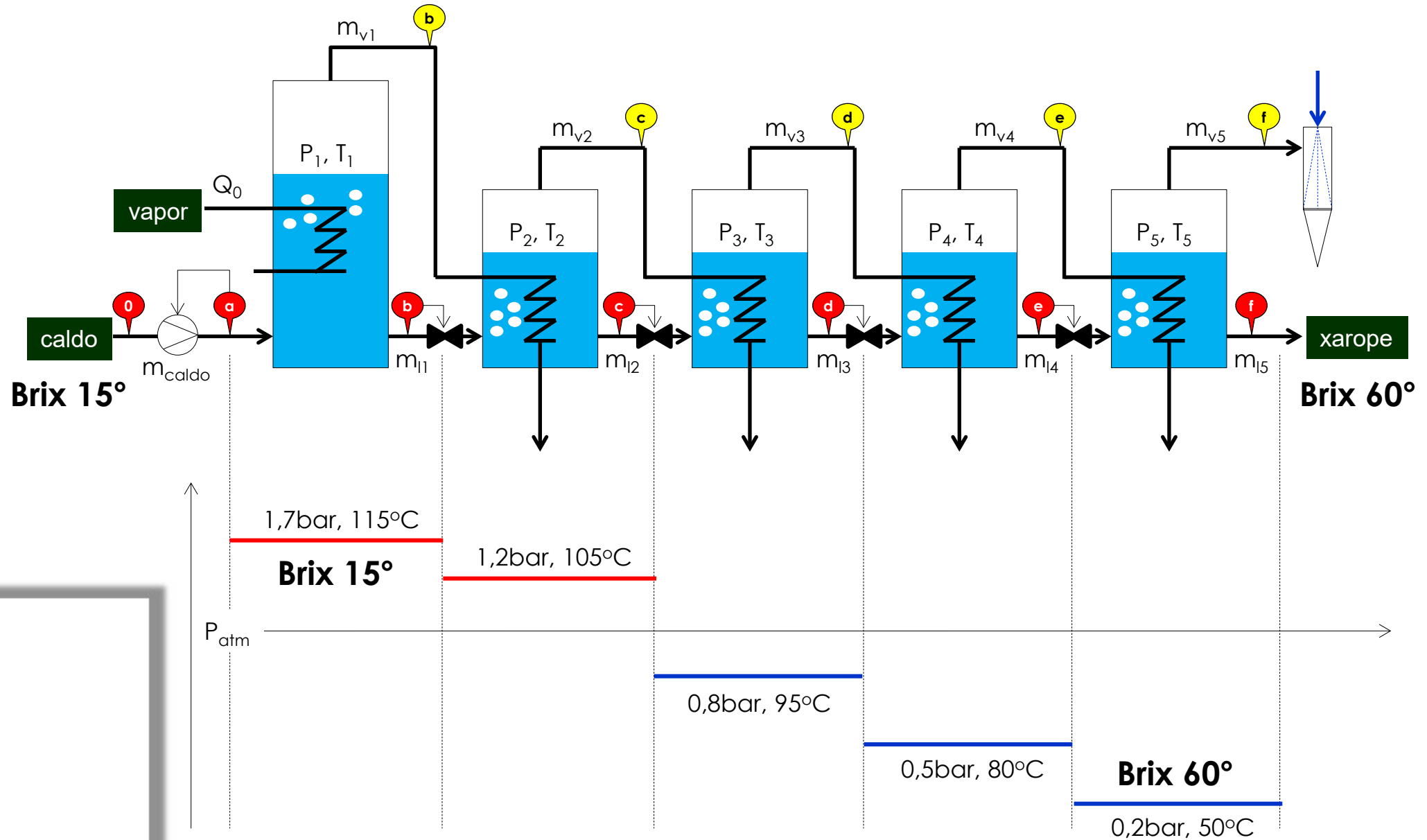
$C = 60\%$
 \downarrow
 $\Delta T = 3^\circ$



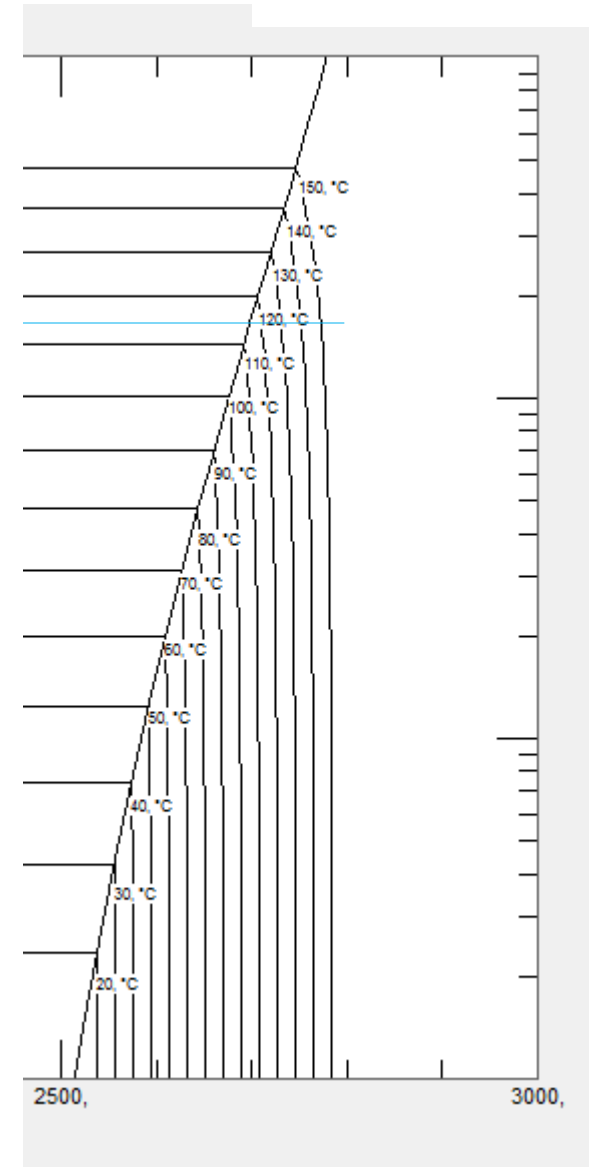
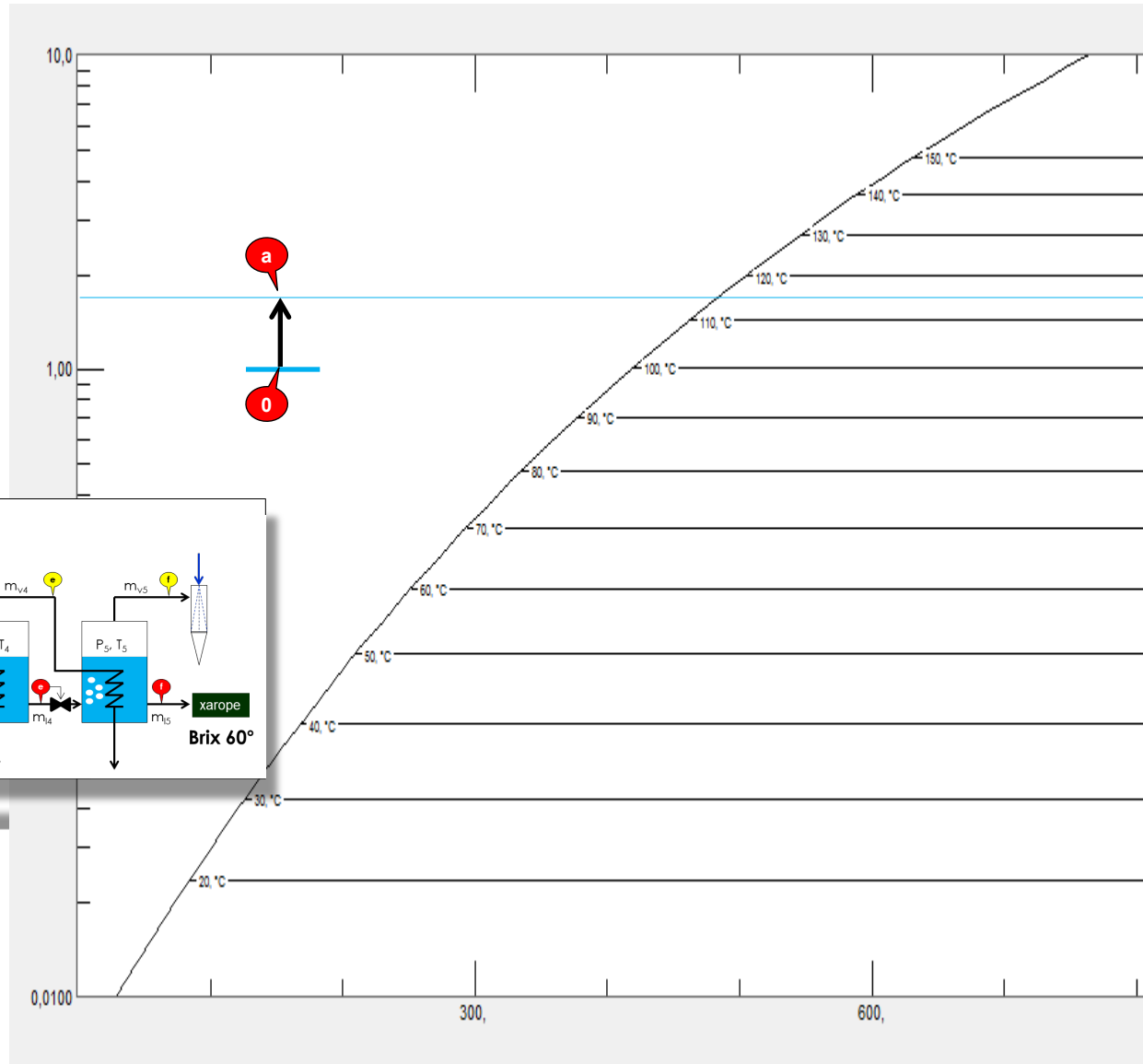
Princípio de funcionamento dos evaporadores sem recompressão de vapor



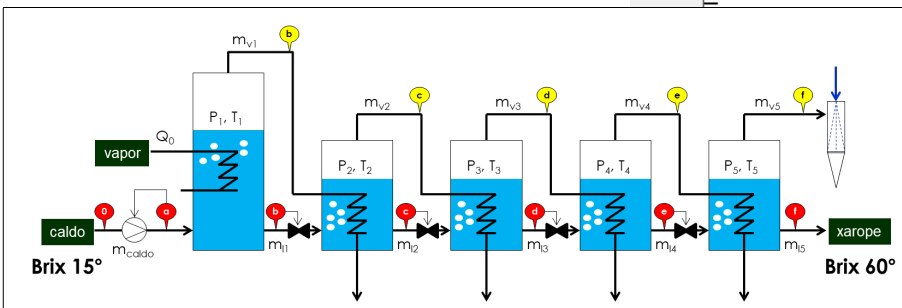
Princípio de funcionamento dos evaporadores sem recompressão de vapor

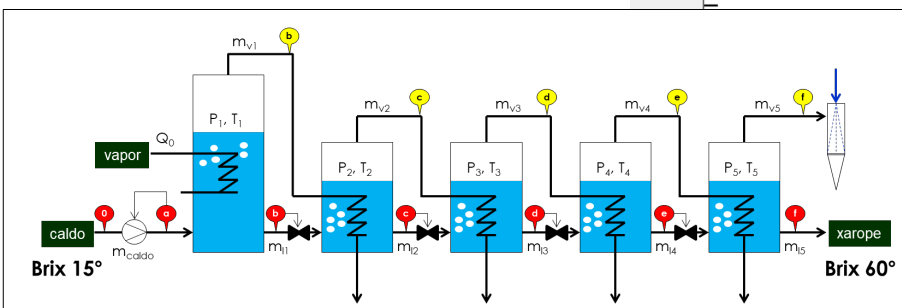
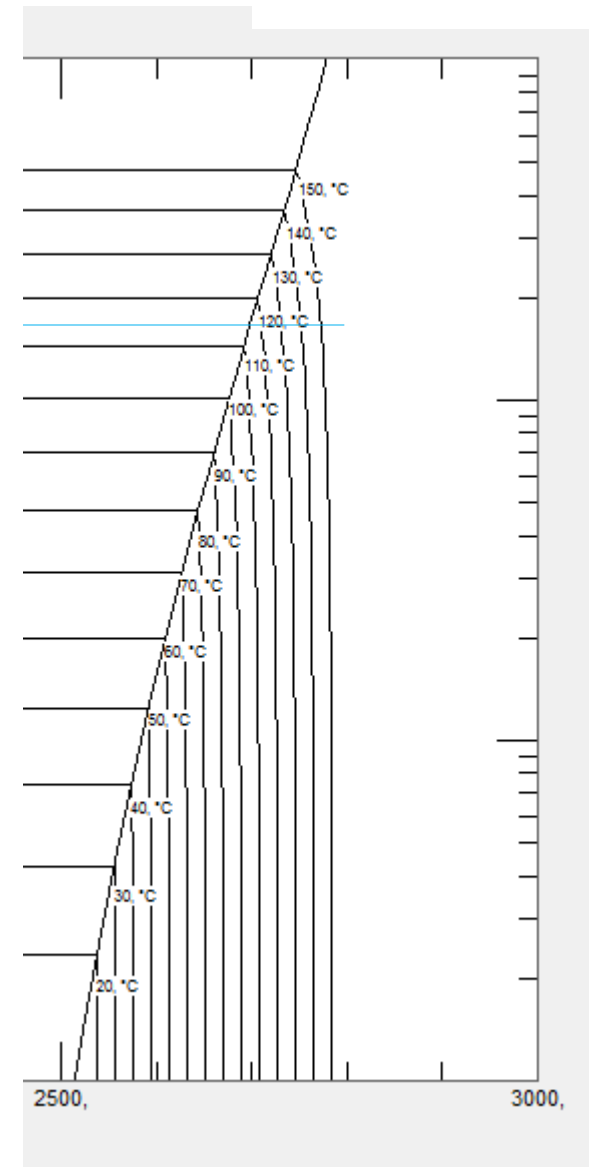
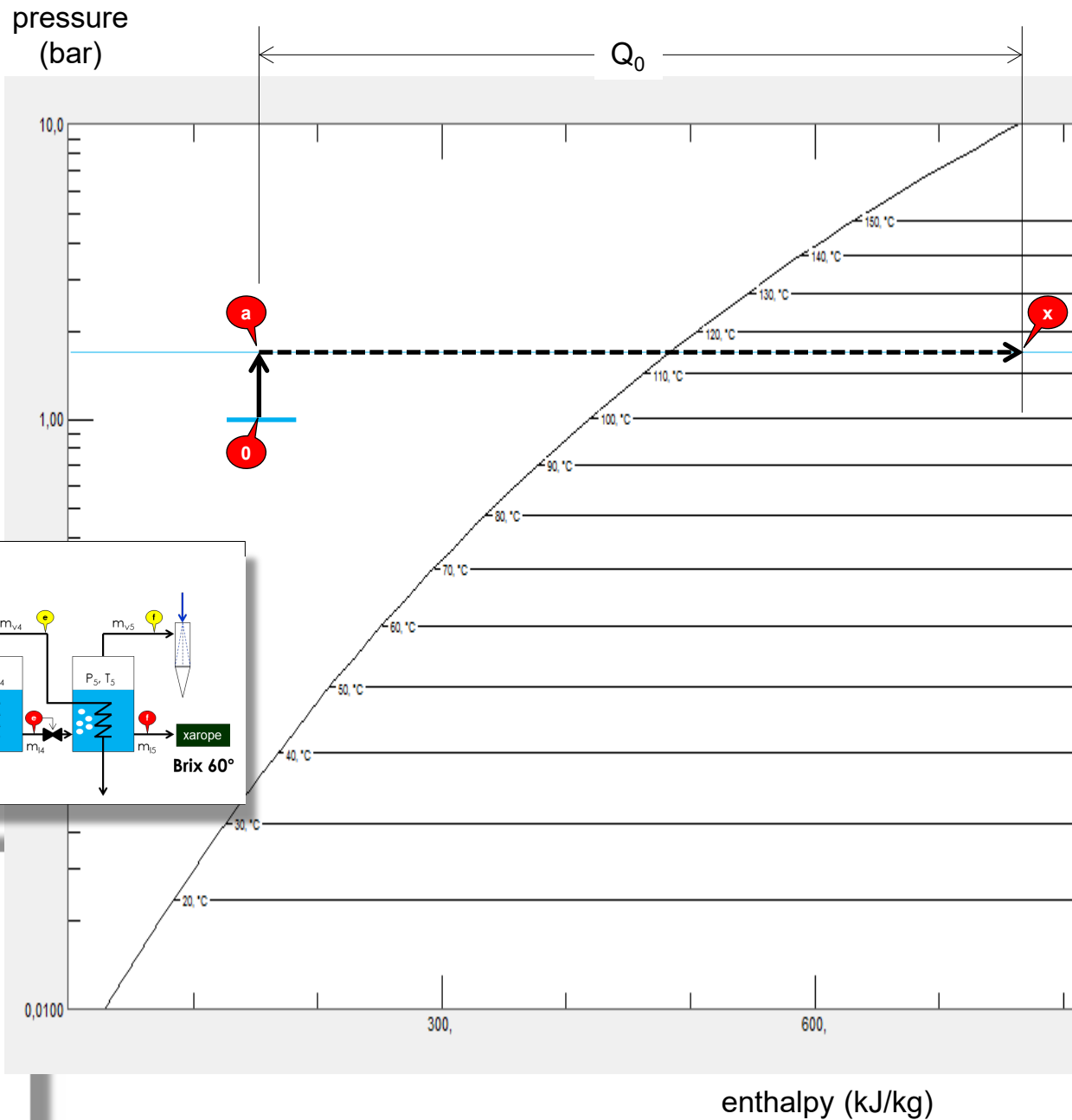


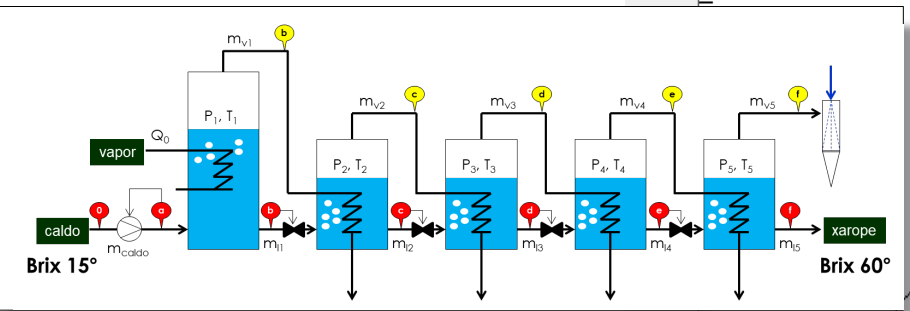
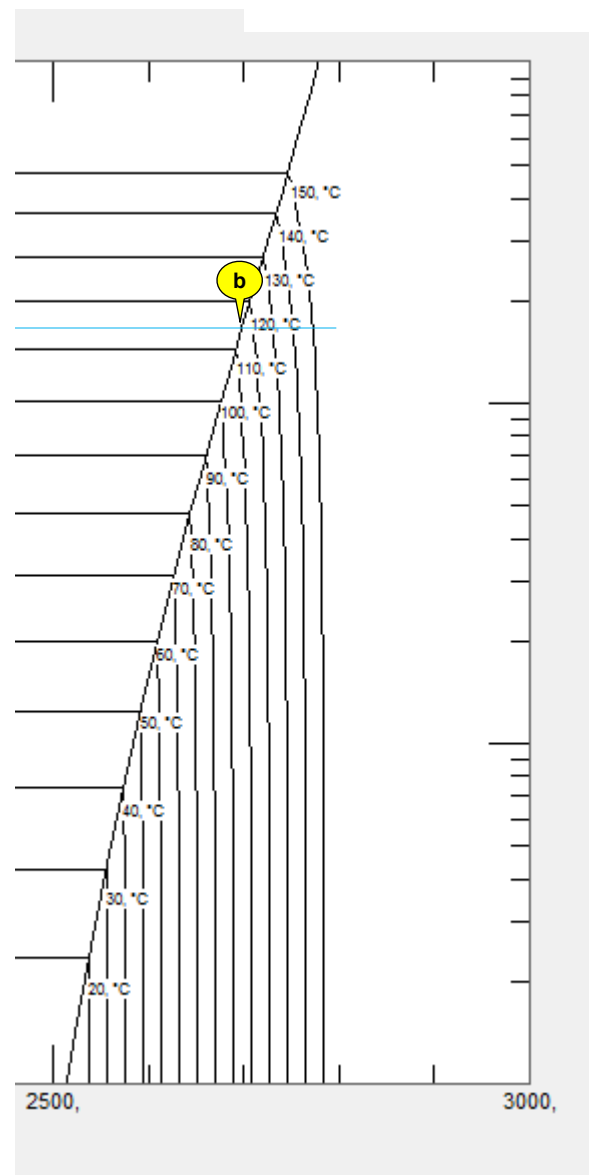
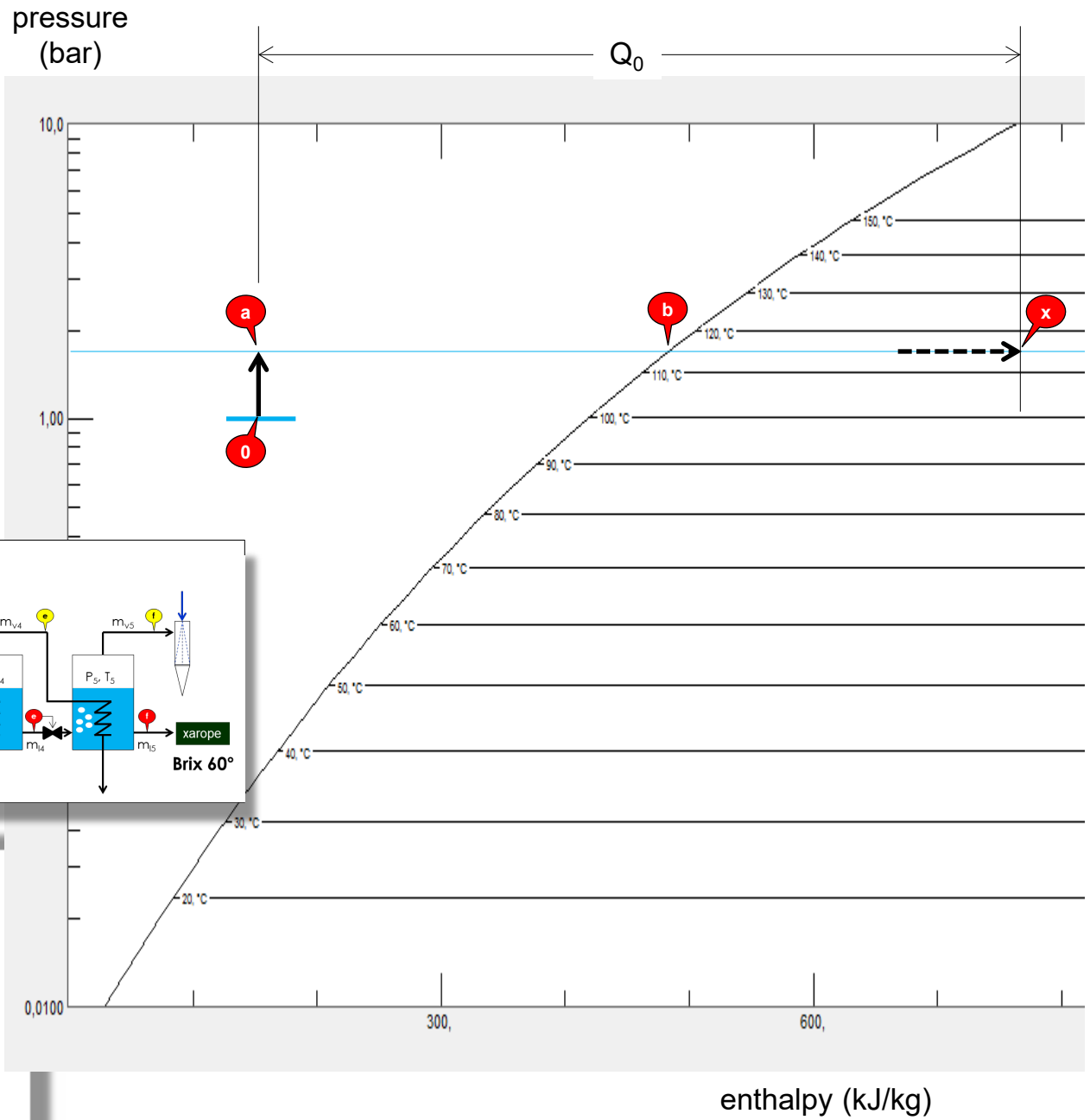
pressure
(bar)

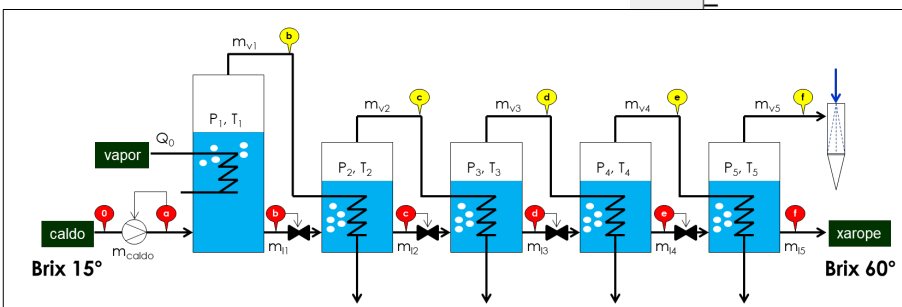
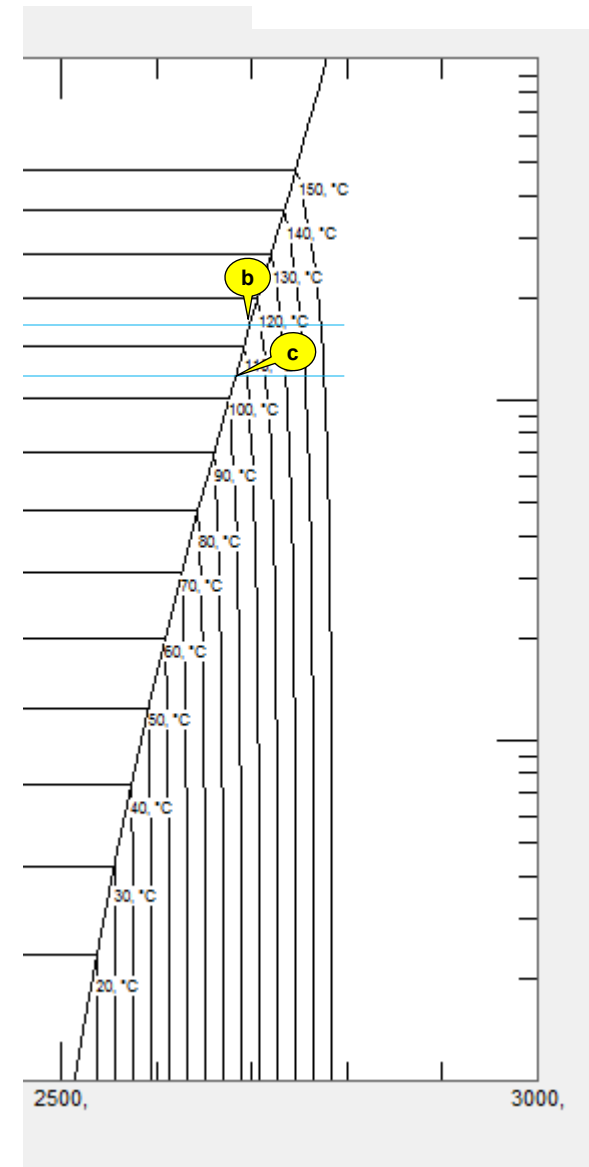
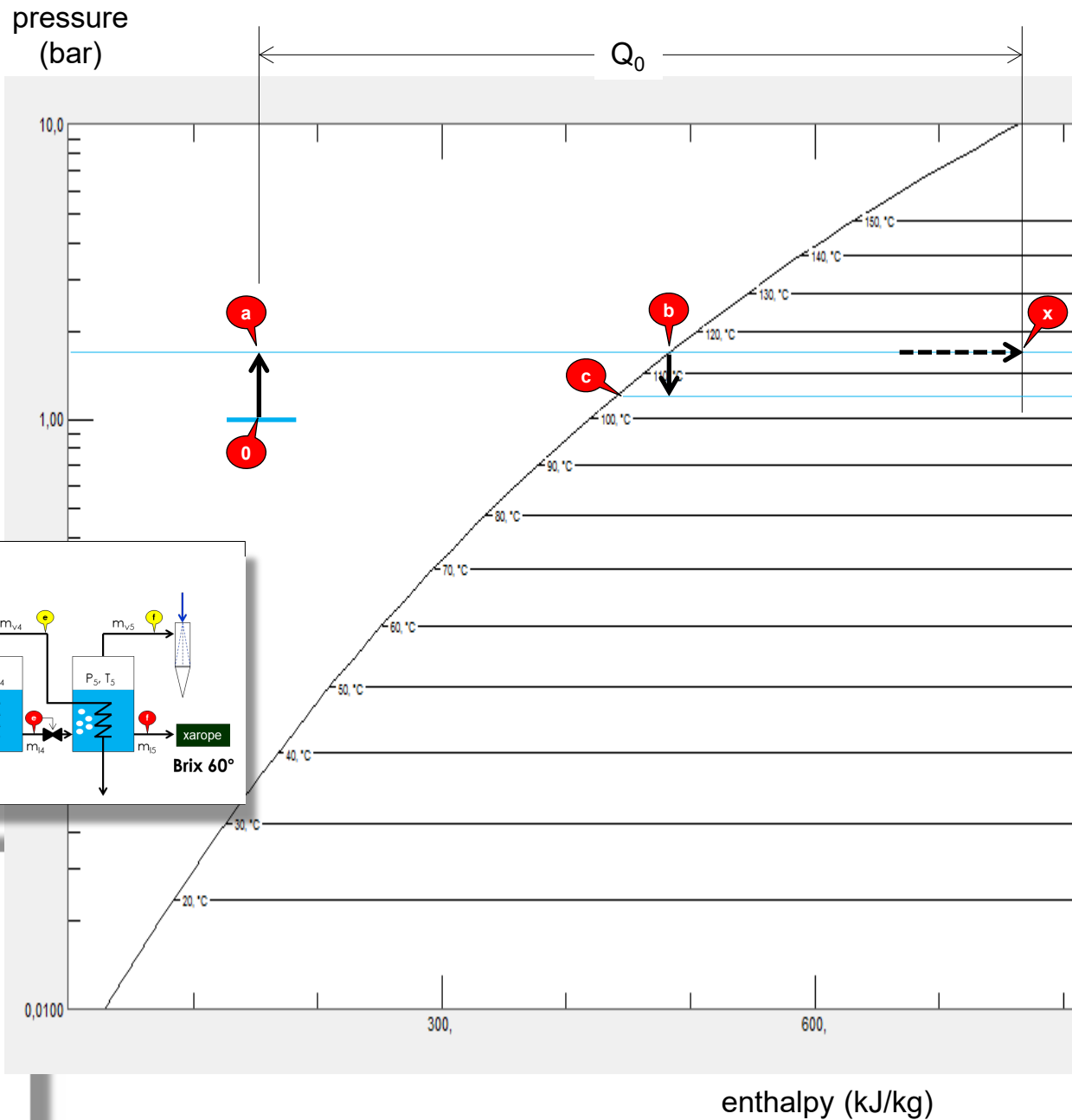


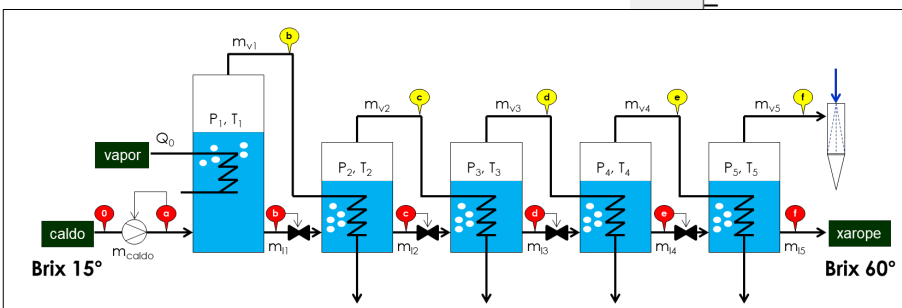
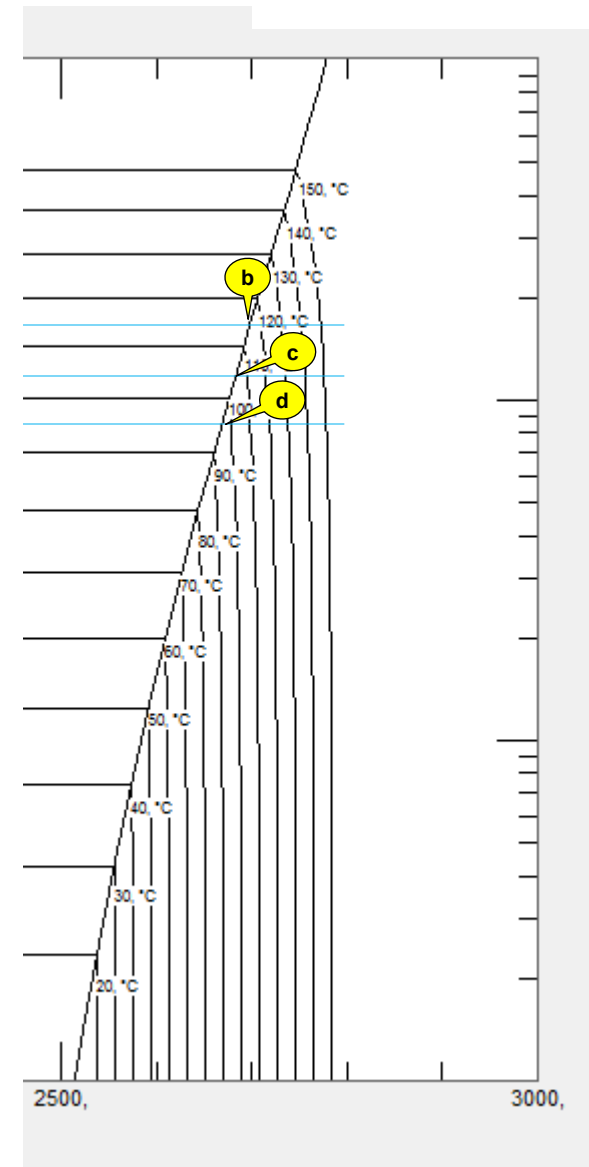
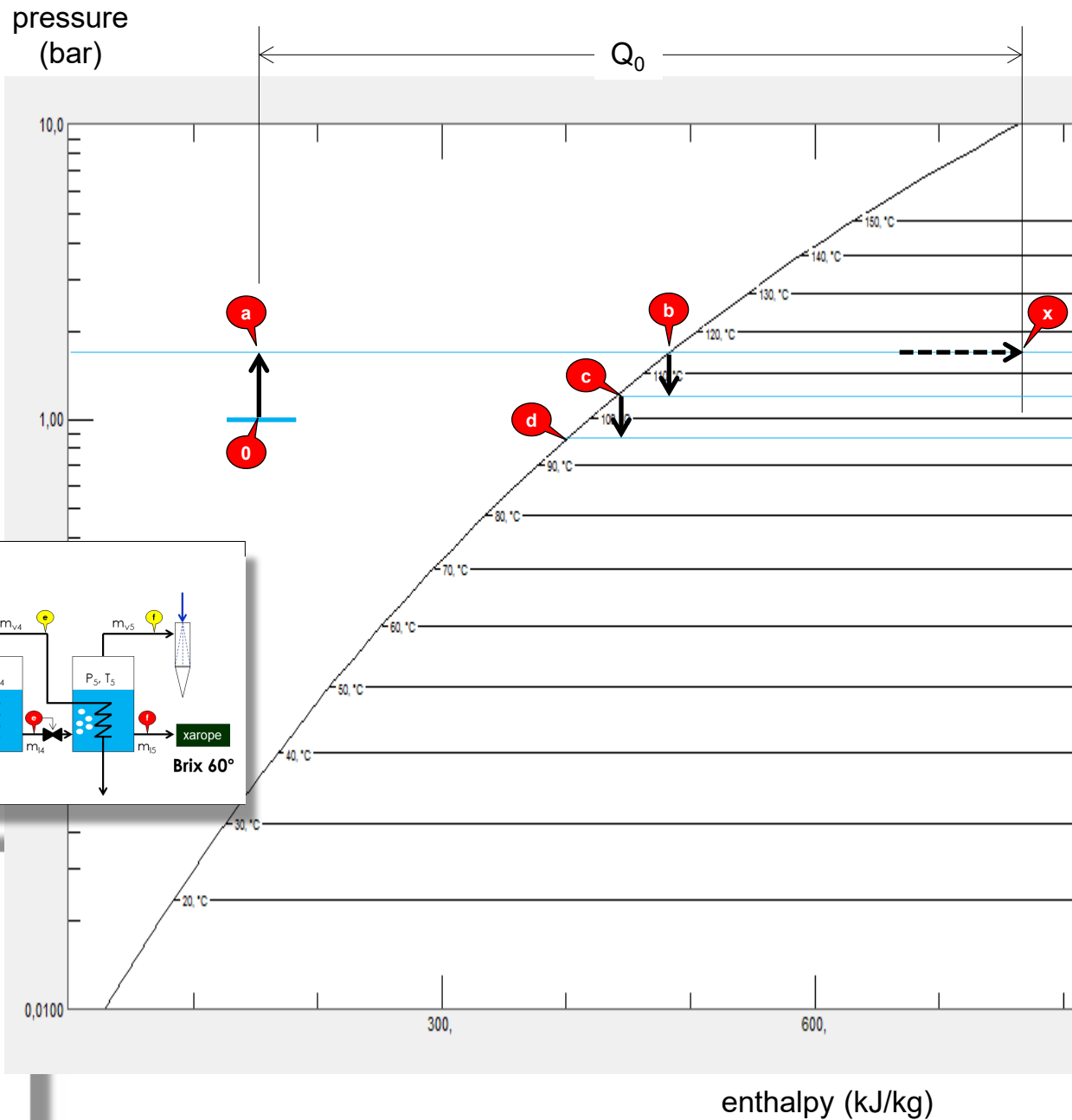
enthalpy (kJ/kg)











pressure
(bar)

10,0

1,00

Q_0

a

0

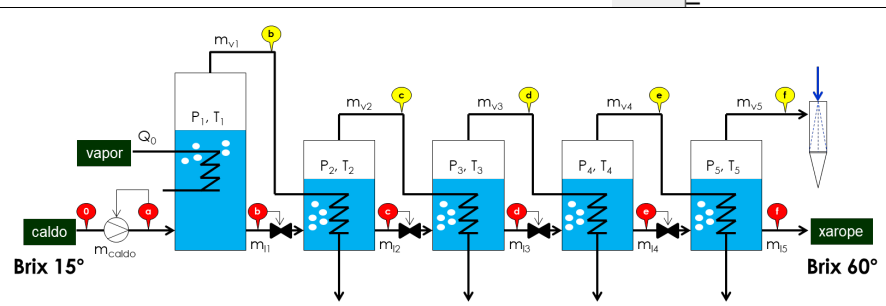
b

x

c

d

e

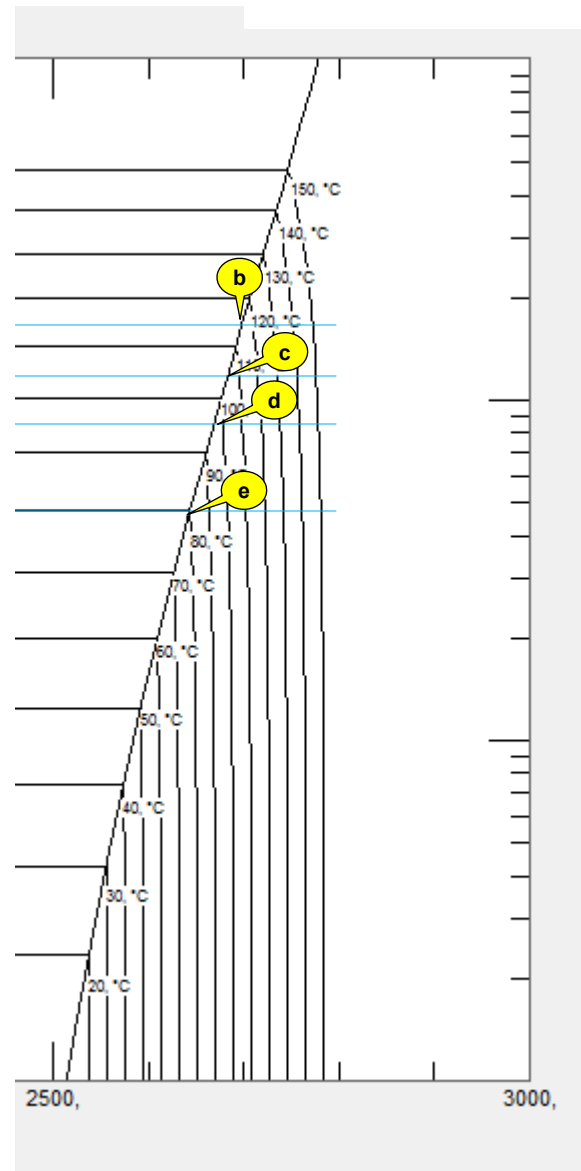


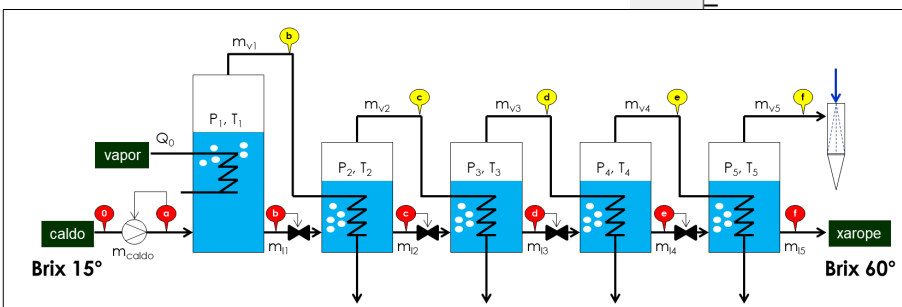
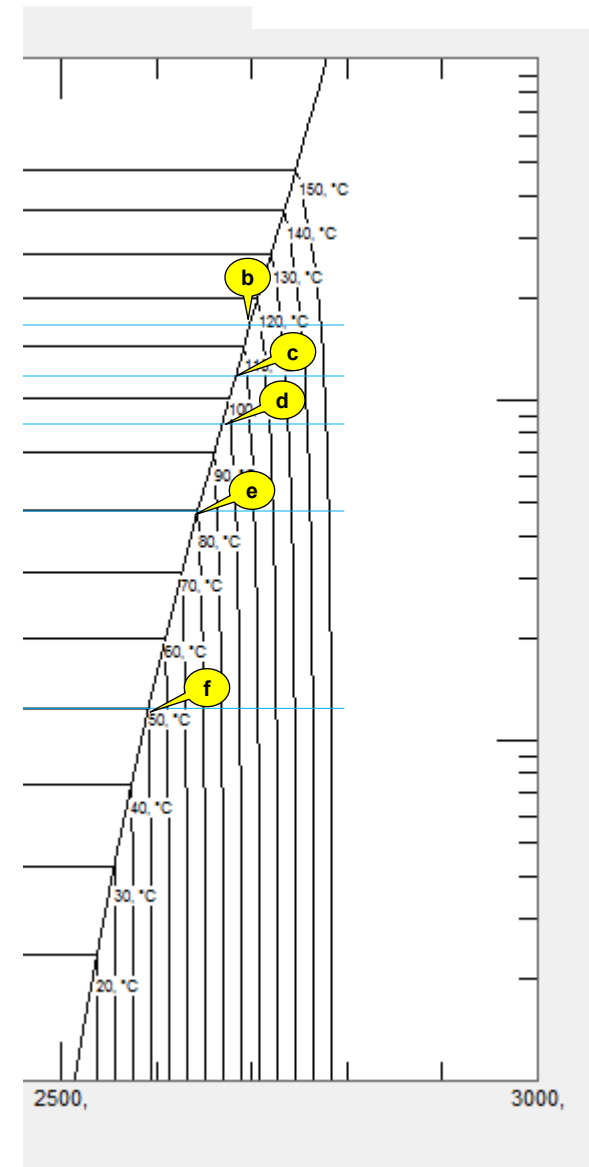
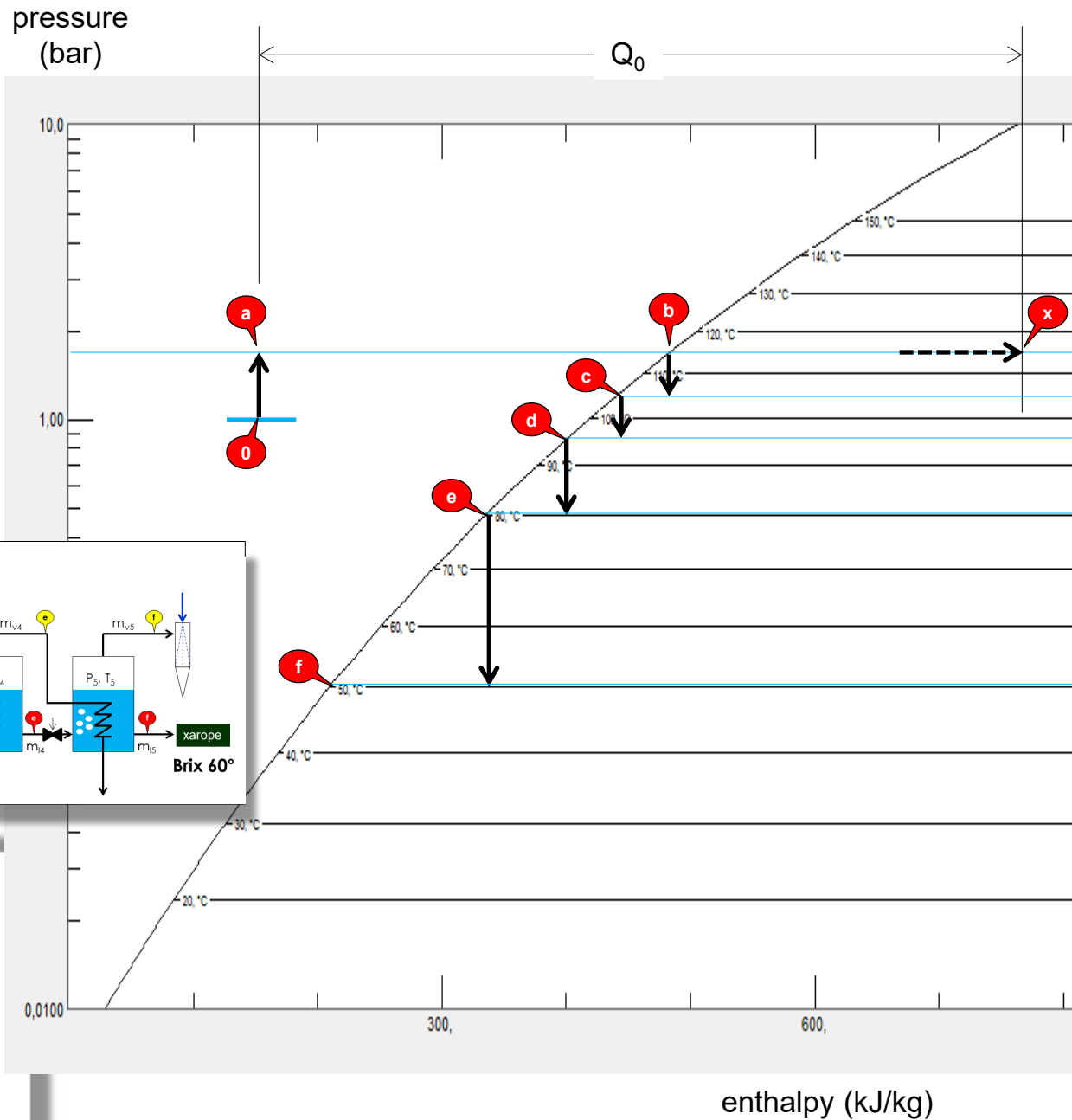
0,0100

300,

600,

enthalpy (kJ/kg)

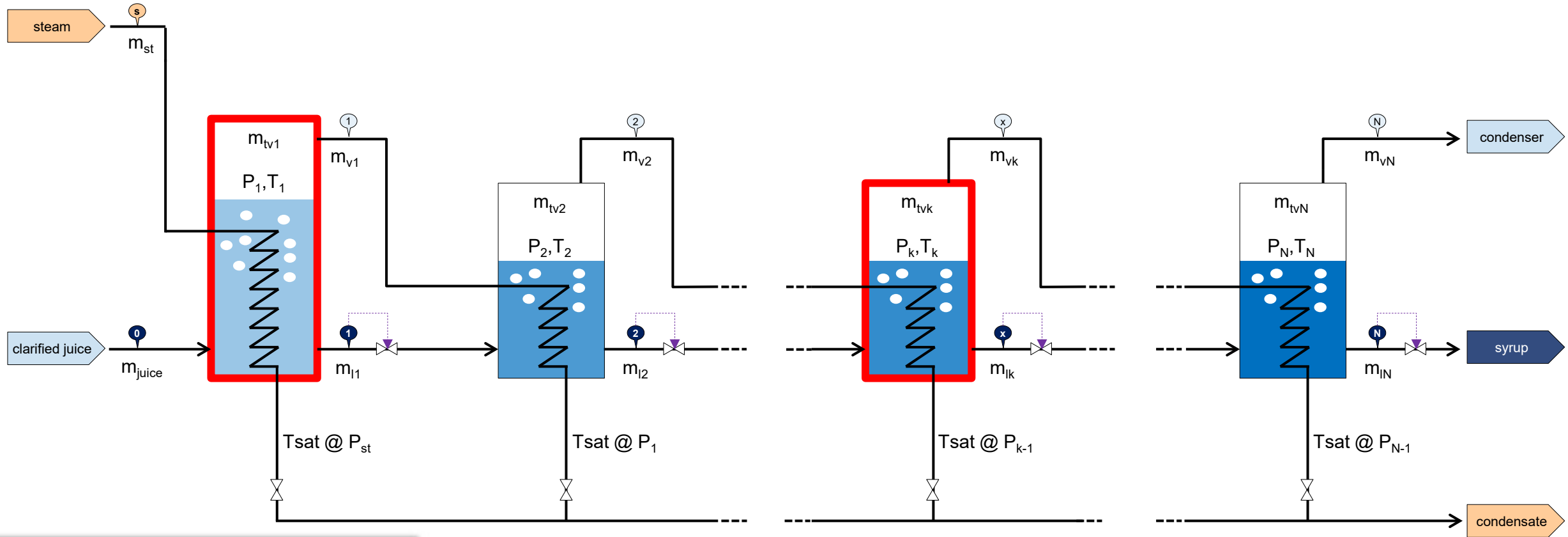




Equacionamento

Attention to
Filler Words

Princípio de funcionamento dos evaporadores sem recompressão de vapor



vazão mássica de
vapor produzida no
módulo

=

vaporização
devido ao
flasheamento

+

vaporização por
absorção de
calor

Princípio de funcionamento dos evaporadores sem recompressão de vapor

inv. massa $\rightarrow m_{l,0} = m_{l,1} + m_{v,1}$

1ª Lei $\rightarrow m_{l,0}h_{l,0} + m_{st}h_{st} - m_{v,1}h_{v,1} - m_{l,1}h_{l,1} - m_{st}h_{l,sat} = 0$

(1)
(2)
(3)
(4)
(5)

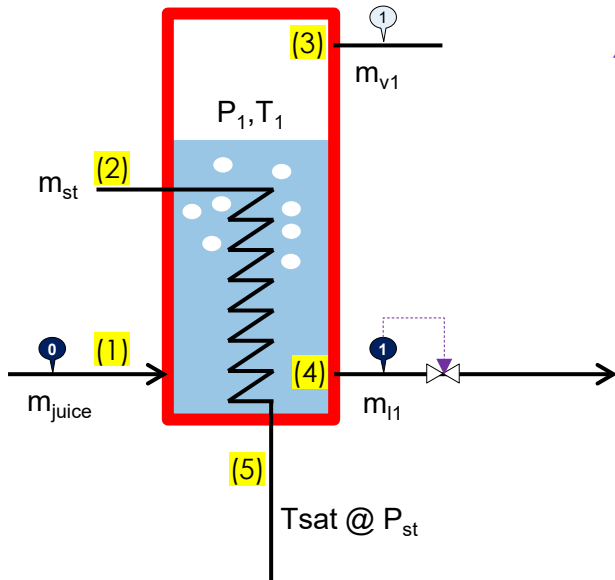
$$m_{l,0}h_{l,0} + m_{st}h_{st} - m_{v,1}h_{v,1} - (m_{l,0} - m_{v,1})h_{l,1} - m_{st}h_{l,sat} = 0$$

$$m_{l,0}(h_{l,0} - h_{l,1}) + m_{st}(h_{st} - h_{l,sat}) - m_{v,1}(h_{v,1} - h_{l,1}) = 0$$

$$m_{v,1} = m_{l,0} \left(\frac{h_{l,0} - h_{l,1}}{h_{v,1} - h_{l,1}} \right) + m_{st} \left(\frac{h_{st} - h_{l,sat}}{h_{v,1} - h_{l,1}} \right)$$

Flasheamento
devido à expansão
isentálpica na
válvula

Evaporação devido ao
calor liberado pela
condensação do vapor
superaquecido



Princípio de funcionamento dos evaporadores sem recompressão de vapor

inv. massa $\rightarrow m_{l,k-1} = m_{l,k} + m_{v,k}$

1ª Lei $\rightarrow m_{l,k-1} h_{l,k-1} + m_{v,k-1} h_{v,k-1} - m_{v,k} h_{v,k} - m_{l,k} h_{l,k} - m_{v,k-1} h_{l,k-1} = 0$

(1)
(2)
(3)
(4)
(5)

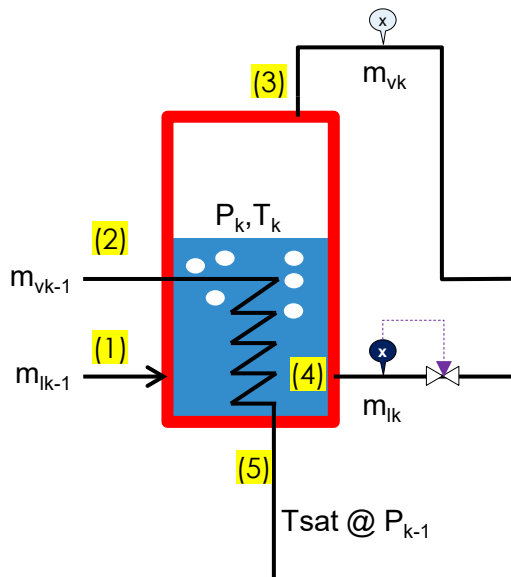
rearranjando...

$$m_{v,k} = m_{l,k-1} \left(\frac{h_{l,k-1} - h_{l,k}}{h_{v,k} - h_{l,k}} \right) + m_{v,k-1} \left(\frac{h_{v,k-1} - h_{l,k-1}}{h_{v,k} - h_{l,k}} \right)$$

Flasheamento
devido à expansão
isentálpica na
válvula

Evaporação devido ao
calor liberado pela
condensação do vapor
do estágio anterior

$$m_{v,k} = m_{\text{flash},k} + m_{\text{evap},k}$$



$k=1$	$m_{v,1} = m_{l,0} \left(\frac{h_{l,0} - h_{l,1}}{h_{v,1} - h_{l,1}} \right) + m_{st} \left(\frac{h_{st} - h_{l,sat}}{h_{v,1} - h_{l,1}} \right)$	$m_{l,1} = m_{l,0} - m_{v,1}$
$k=2$	$m_{v,2} = m_{l,1} \left(\frac{h_{l,1} - h_{l,2}}{h_{v,2} - h_{l,2}} \right) + m_{v,1} \left(\frac{h_{v,1} - h_{l,1}}{h_{v,2} - h_{l,2}} \right)$	$m_{l,2} = m_{l,1} - m_{v,2}$
$k=3$	$m_{v,3} = m_{l,2} \left(\frac{h_{l,2} - h_{l,3}}{h_{v,3} - h_{l,3}} \right) + m_{v,2} \left(\frac{h_{v,2} - h_{l,2}}{h_{v,3} - h_{l,3}} \right)$	$m_{l,3} = m_{l,2} - m_{v,3}$
\vdots	\vdots	\vdots
$k=N$	$m_{v,N} = m_{l,N-1} \left(\frac{h_{l,N-1} - h_{l,N}}{h_{v,N} - h_{l,N}} \right) + m_{v,N-1} \left(\frac{h_{v,N-1} - h_{l,N-1}}{h_{v,N} - h_{l,N}} \right)$	$m_{l,N} = m_{l,N-1} - m_{v,N}$

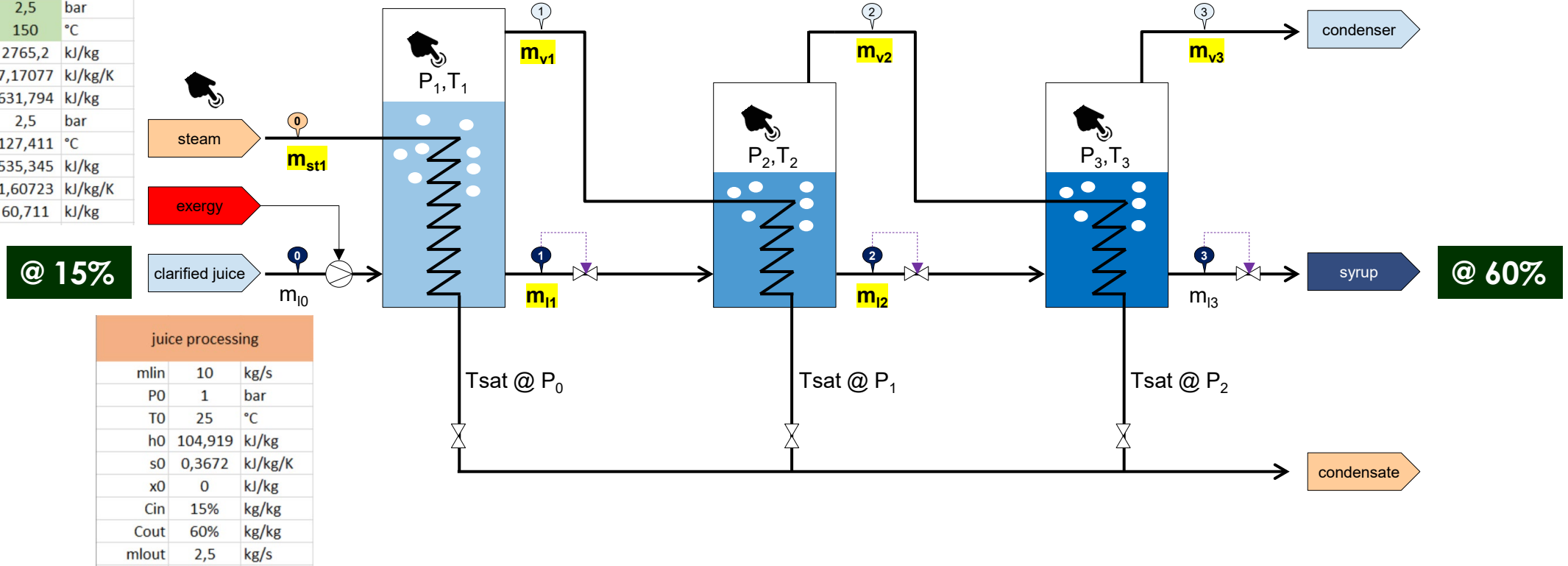
Obs.: as entalpias só dependem das pressões especificadas nos módulos

→ 2N equações × 2N incógnitas

Configuração de referência...

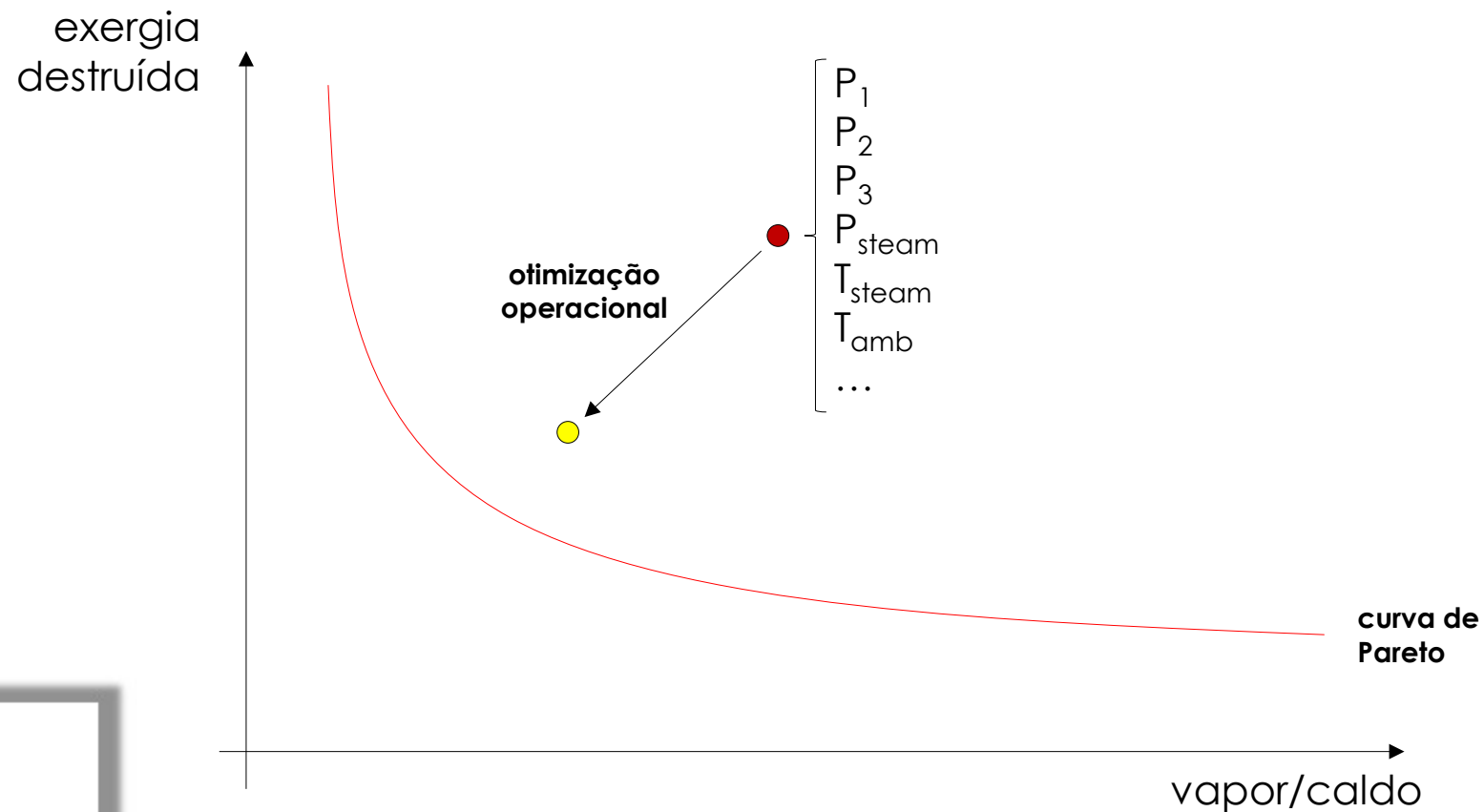
Attention to
Filler Words

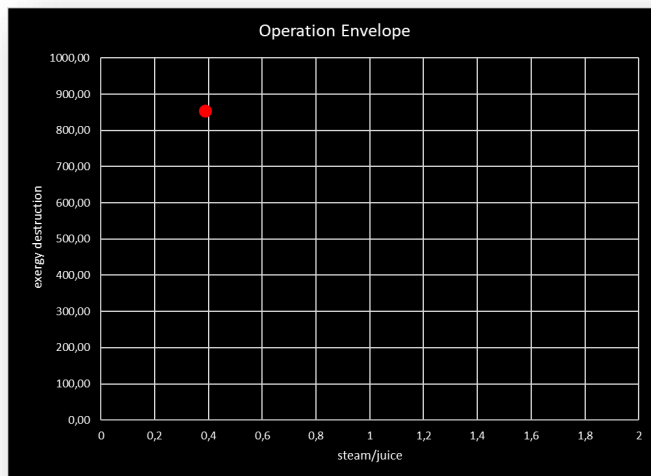
steam supply		
mstin	?	kg/s
Pst	2,5	bar
Tst	150	°C
hst	2765,2	kJ/kg
sst	7,17077	kJ/kg/K
xst	631,794	kJ/kg
Pcond	2,5	bar
Tcond	127,411	°C
hcond	535,345	kJ/kg
scond	1,60723	kJ/kg/K
xcond	60,711	kJ/kg



$$\left. \begin{aligned} r_0 &= \frac{m_{\text{açúcar}}}{m_{l,0}} \\ r_3 &= \frac{m_{\text{açúcar}}}{m_{l,3}} \end{aligned} \right\} \quad m_{l,3} = m_{l,0} \frac{r_3}{r_0} \quad \Rightarrow \quad \left\{ \begin{aligned} &m_{\text{steam}} \\ &m_{l,1}, m_{v,1} \\ &m_{l,2}, m_{v,2} \\ &m_{v,3} \end{aligned} \right.$$

Envelope operacional do processo





Salvamento Automático

Arquivo Página Inicial Inserir Layout da Página Fórmulas Dados Revisão Exibir Diga-me o que você deseja fazer

Recortar Copiar Pincel de Formatação

Calibri 11

Fonte Alinhamento Número

M40

	A	B	C	D	E	F	G	H	I	J	K	L	M	N
1	fluid and dead state				evaporator									
2	fluid	water			evaps	P	T	hl	hv	sl	sv	xl	xv	
3	Pamb	1	bar		1	1	99,6059	417,504	2674,95	1,30276	7,35885	33,6484	485,469	
4	Tamb	25	°C		2	0,9	96,6871	405,198	2670,31	1,26964	7,39427	31,2157	470,273	
5	hamb	104,919	kJ/kg		3	0,8	93,4855	391,71	2665,18	1,23304	7,43394	28,6403	453,312	
6	samb	0,3672	kJ/kg/K											
7	juice processing				performance									
8	mlin	10	kg/s		ml0	10,0000	kg/s	mv0	3,904	kg/s				
9	P0	1	bar		ml1	7,5286	kg/s	mv1	2,471	kg/s				
10	T0	25	°C		ml2	5,0246	kg/s	mv2	2,504	kg/s				
11	h0	104,919	kJ/kg		ml3	2,5000	kg/s	mv3	2,525	kg/s				
12	s0	0,3672	kJ/kg/K											
13	x0	0	kJ/kg											
14	Cin	15%	kg/kg											
15	Cout	60%	kg/kg											
16	mlout	2,5	kg/s											
17	steam supply													
18	mstin	?	kg/s											
19	Pst	2,5	bar											
20	Tst	150	°C	ok										
21	hst	2765,2	kJ/kg											
22	sst	7,17077	kJ/kg/K											
23	xst	631,794	kJ/kg											
24	Pcond	2,5	bar											
25	Tcond	127,411	°C											
26	hcond	535,345	kJ/kg											
27	scond	1,60723	kJ/kg/K											
28	xcond	60,711	kJ/kg											
29														
30														
31														
32														
33														
34														
35														
36														

steam consumption = 3,9038 kg/s ok

steam/juice = 0,39 kg/kg ok

steam exergy input = 2466,42 kW ok

pump exergy input = 0,00 kW ok

juice exergy input = 0,00 kW ok

condensate @ evap#1 exergy output = 237,01 kW ok

condensate @ evap#2 exergy output = 83,16 kW ok

condensate @ evap#3 exergy output = 78,16 kW ok

vapor @ evap#3 exergy output = 1144,42 kW ok

liquid @ evap#3 exergy output = 71,60 kW ok

overall exergy input = 2466,42 kW ok

overall exergy output = 1614,35 kW ok

overall exergy destruction = 852,07 kW ok

overall exergy destructed to exergy input = 34,55% kW/kW ok

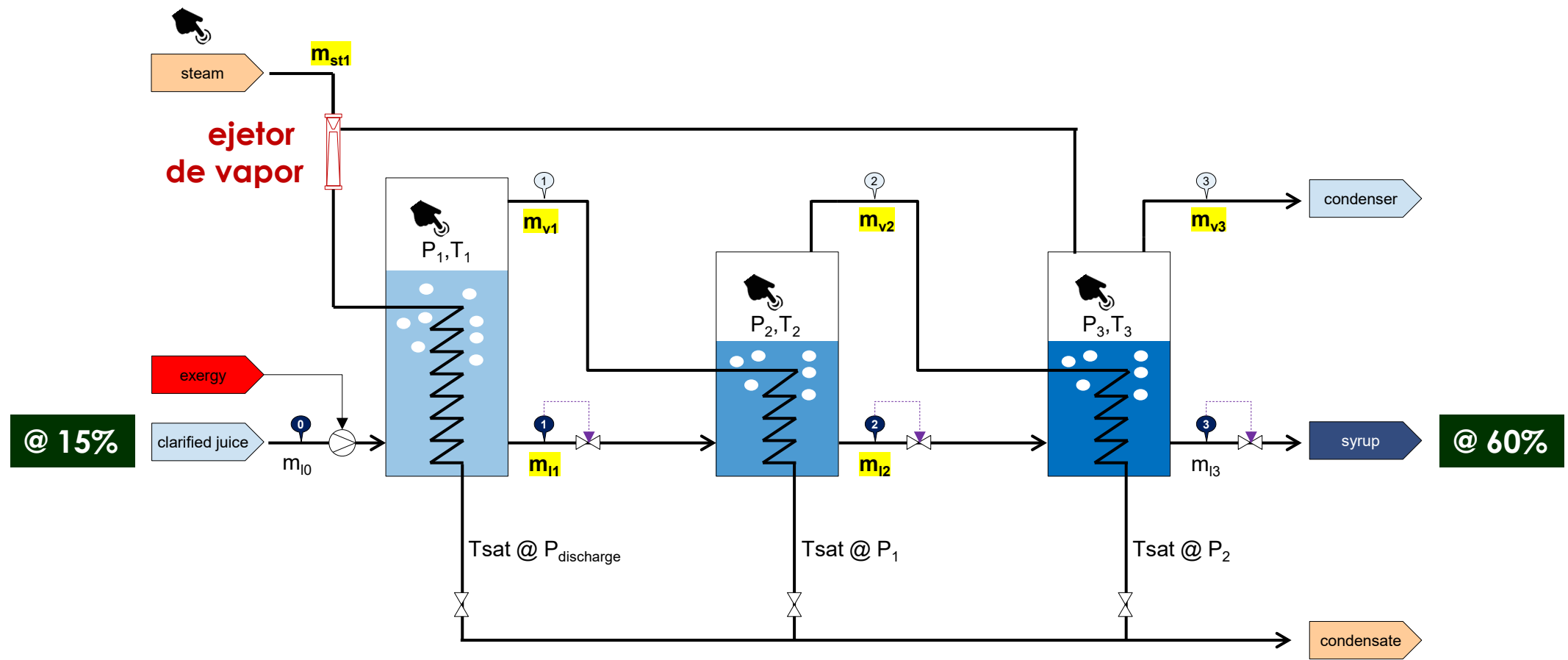
evaporation exergetic efficiency = 16,15% kW/kW ok

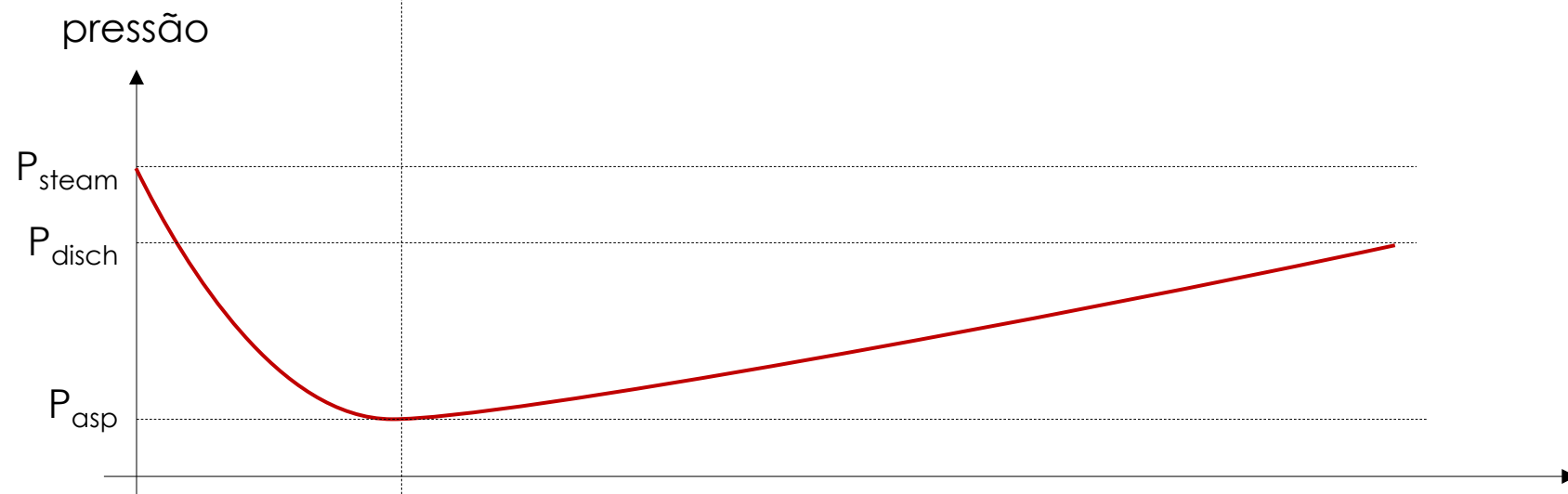
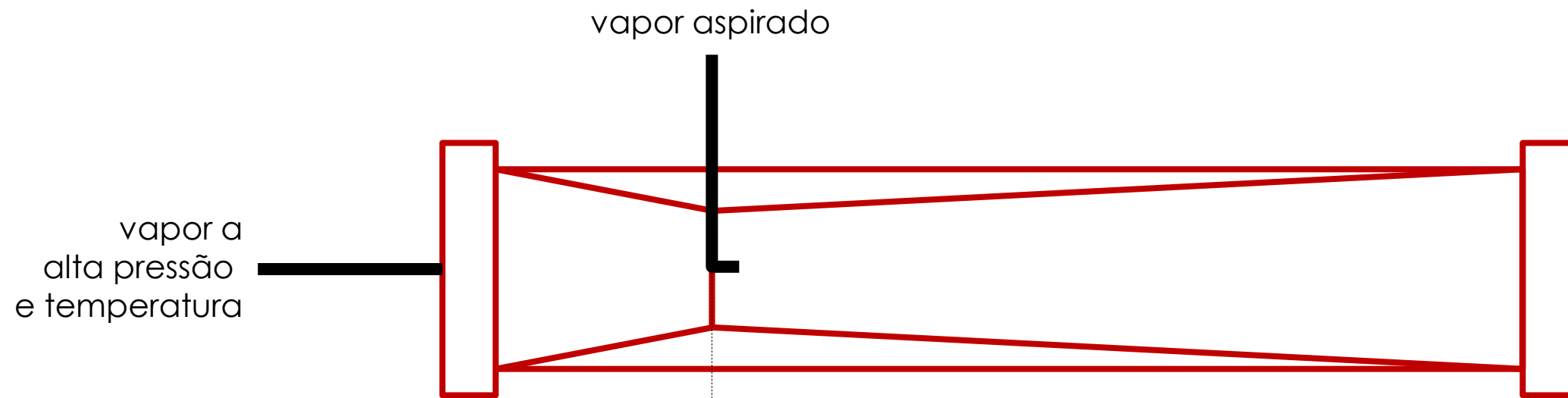
configuração
de referência

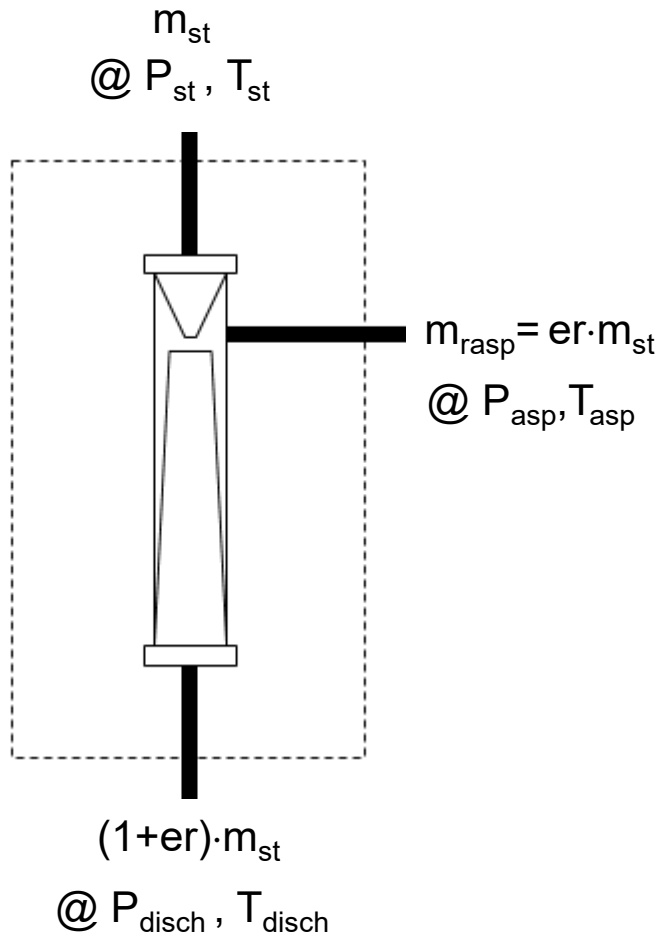


Configuração otimizada (termocompressão)...

Attention to
Filler Words







Balanço de energia:

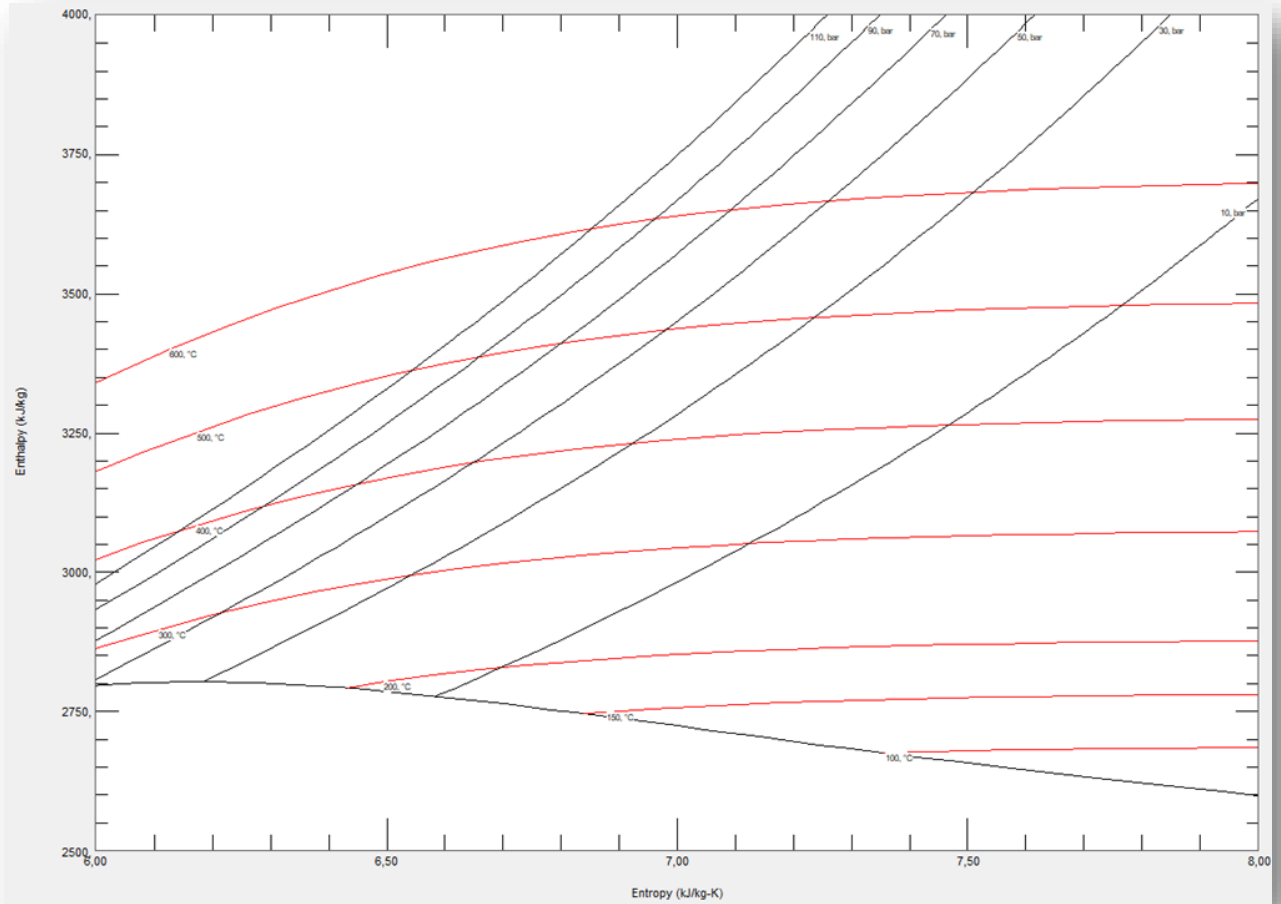
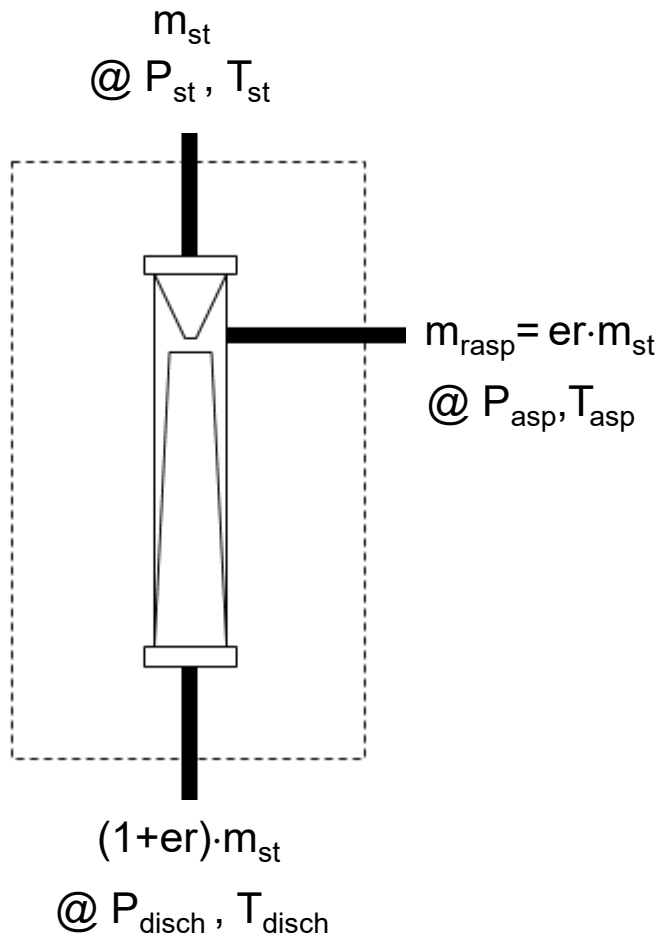
$$m_{st} \cdot h_{st} + er \cdot m_{st} \cdot h_{asp} - (1 + er) \cdot m_{st} \cdot h_{distch} = 0$$

$$\rightarrow h_{distch} = \frac{h_{st}}{1 + er} + \frac{er \cdot h_{asp}}{1 + er}$$

Inventários de entropia:

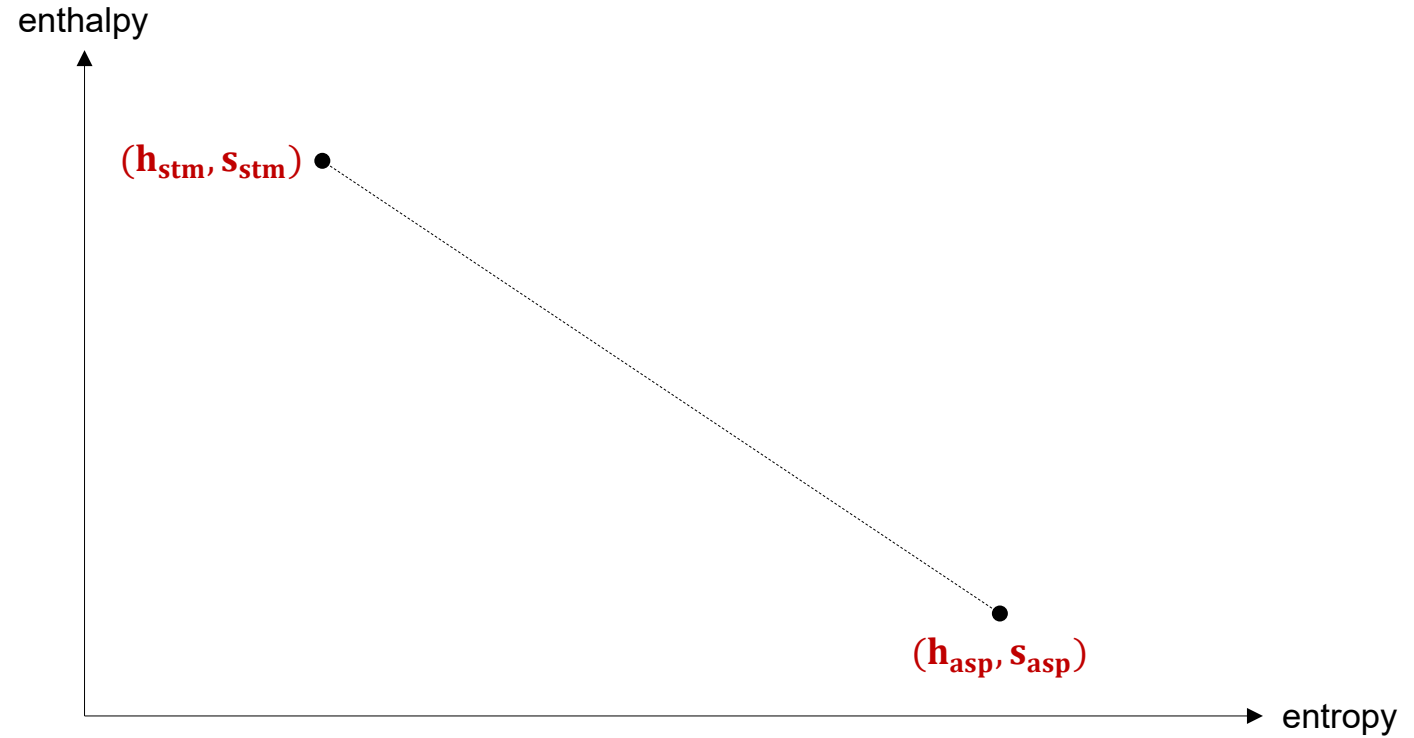
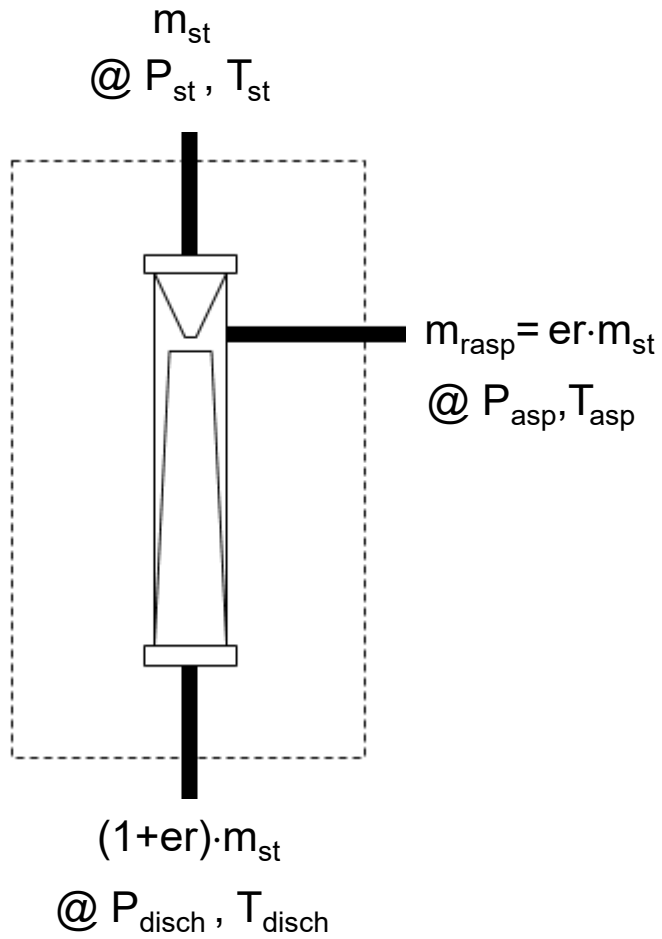
$$m_{st} \cdot s_{st} + er \cdot m_{st} \cdot s_{asp} - (1 + er) \cdot m_{st} \cdot s_{distch} + \dot{s}_{geração} = 0$$

$$\rightarrow s_{distch} = \frac{s_{st}}{1 + er} + \frac{er \cdot s_{asp}}{1 + er}$$

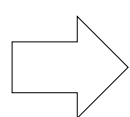


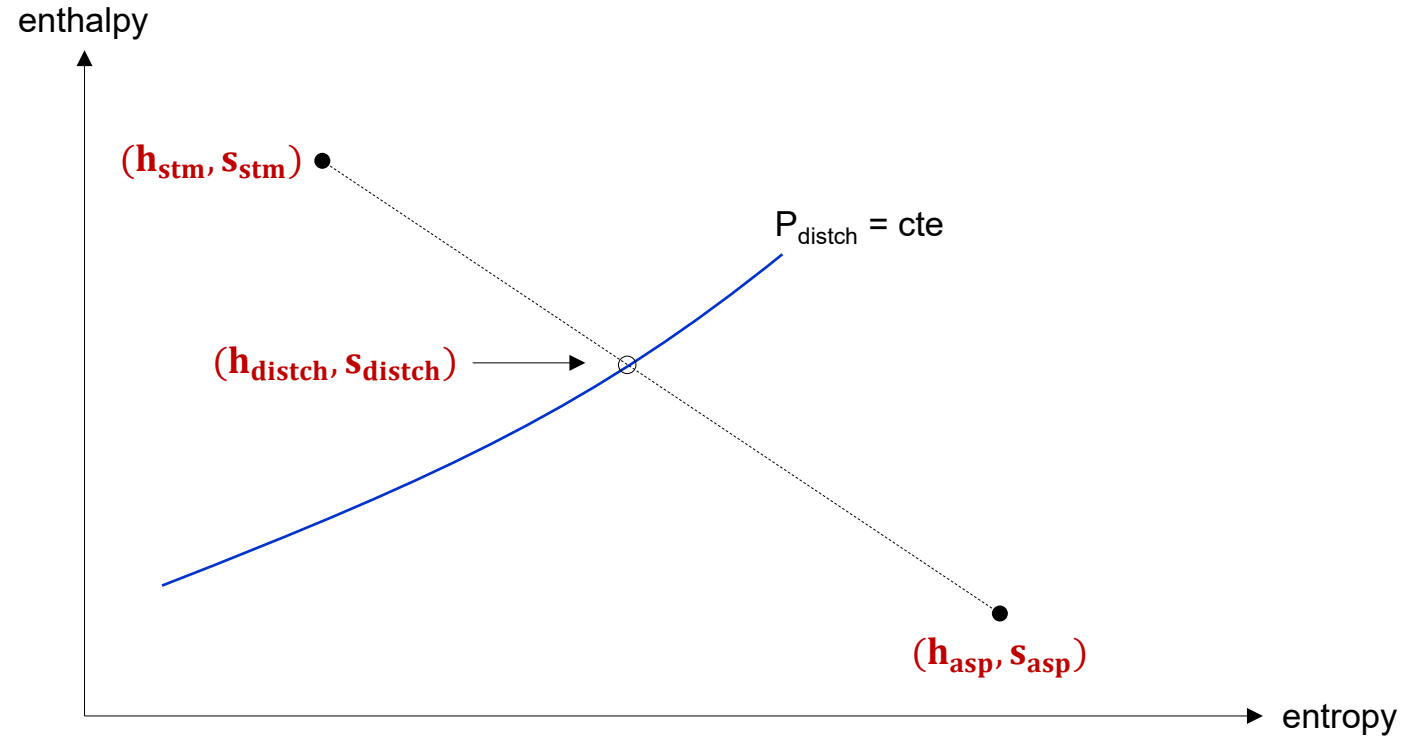
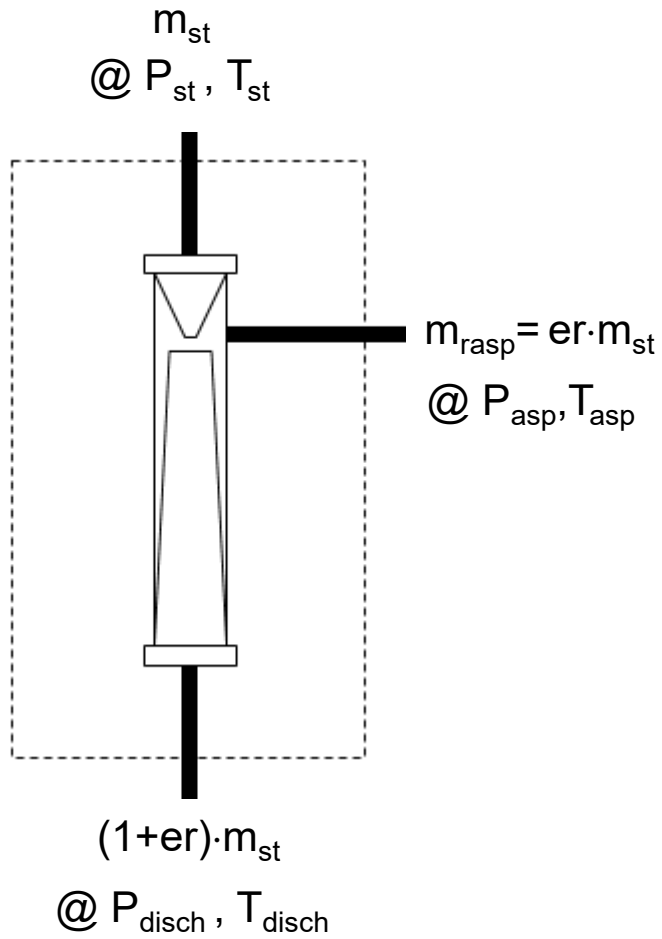
$$\begin{cases}
 h_{distch}(T_{distch}) = \frac{h_{st}}{1+er} + \frac{er \cdot h_{asp}}{1+er} \\
 s_{distch}(T_{distch}) = \frac{s_{st}}{1+er} + \frac{er \cdot s_{asp}}{1+er}
 \end{cases}$$

P_{disch} \Rightarrow er, T_{distch}
 Newton-Raphson



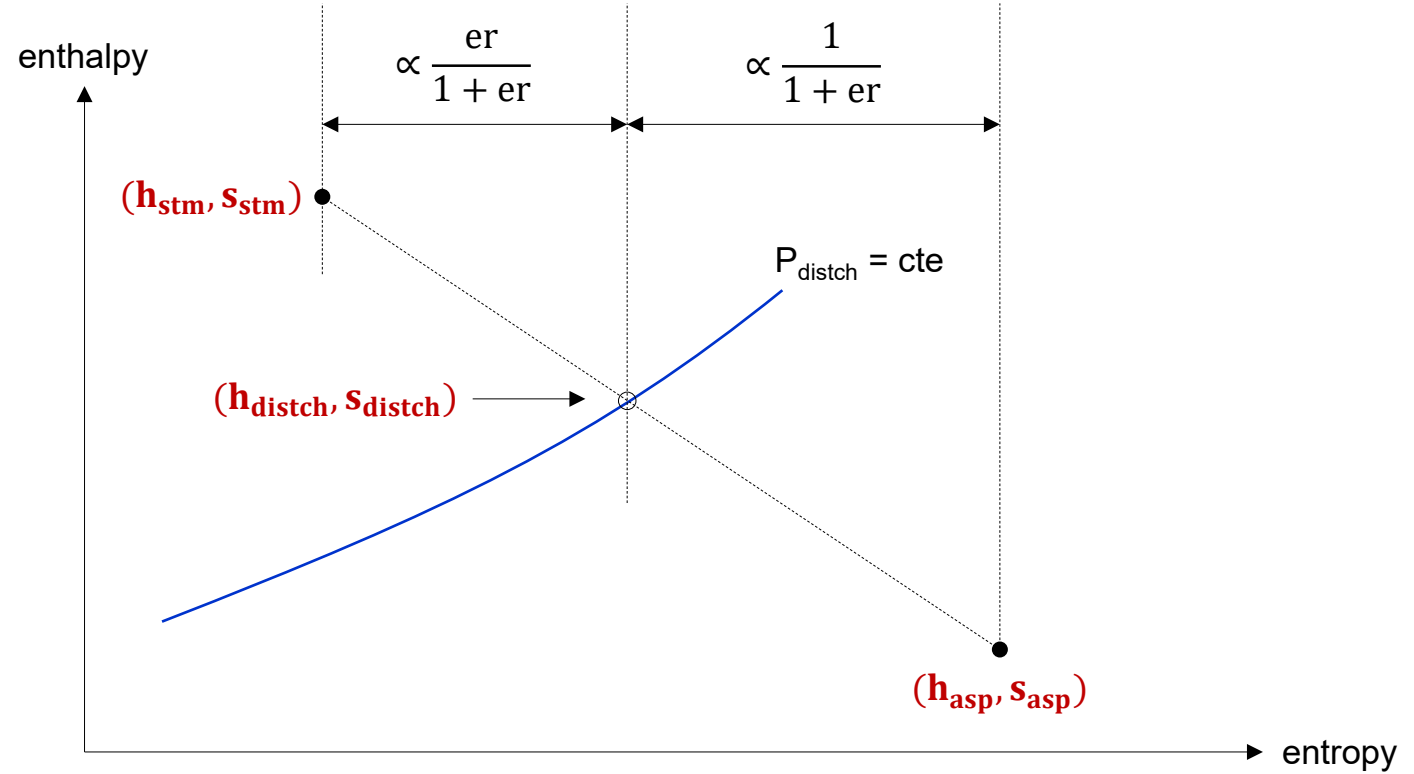
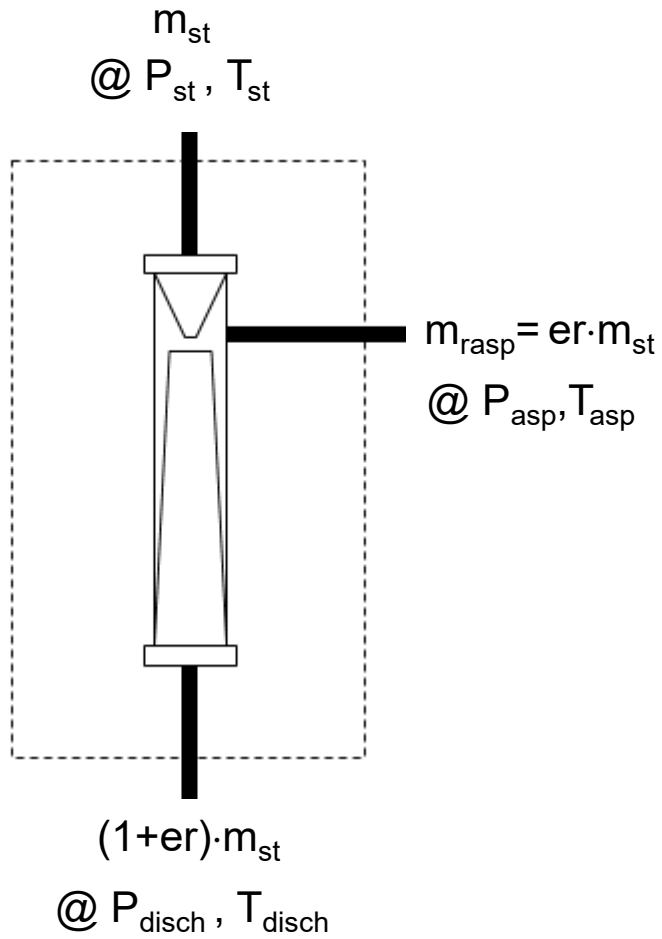
$$2 \times 2 \left\{ \begin{aligned} h_{distch}(T_{distch}) &= \frac{h_{st}}{1+er} + \frac{er \cdot h_{asp}}{1+er} \\ s_{distch}(T_{distch}) &= \frac{s_{st}}{1+er} + \frac{er \cdot s_{asp}}{1+er} \end{aligned} \right.$$

P_{disch}

 er, T_{distch}
 Newton-Raphson



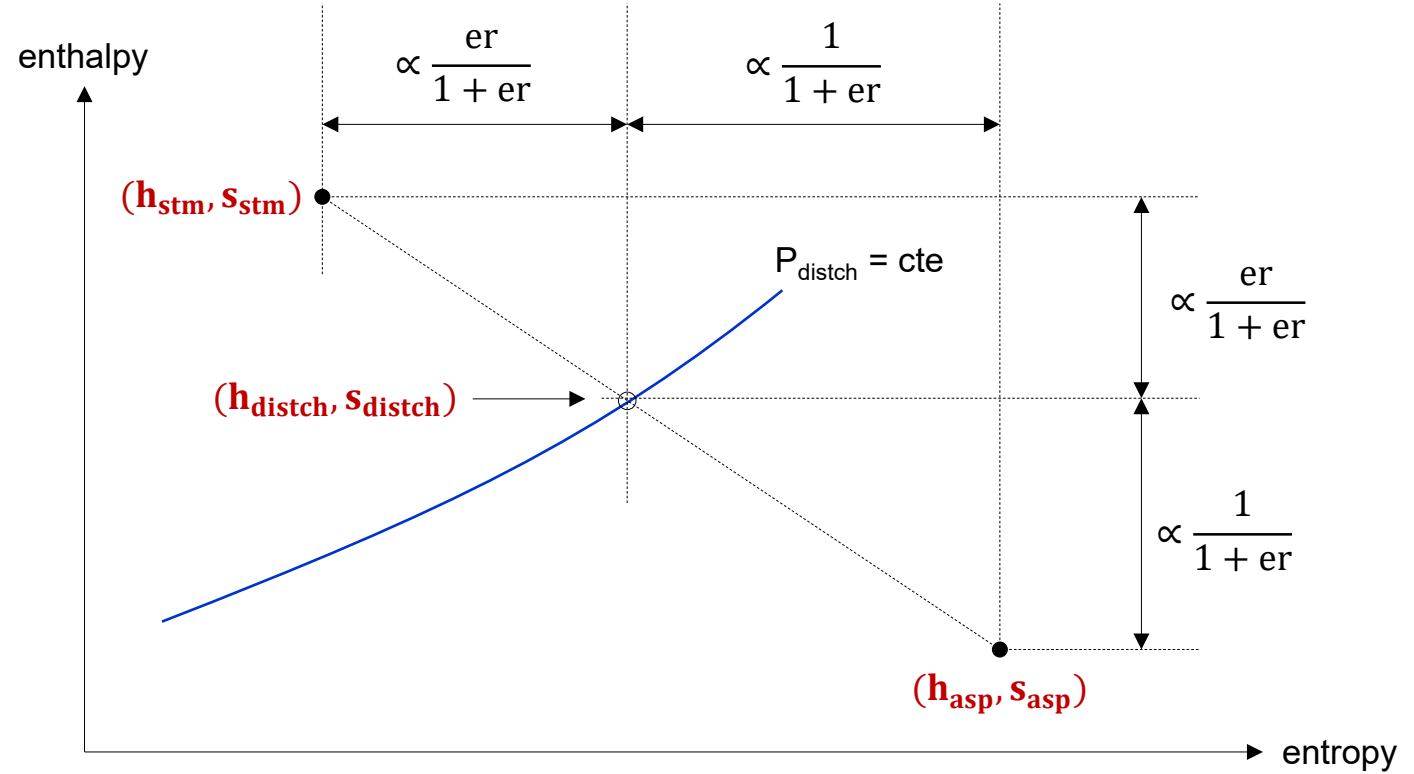
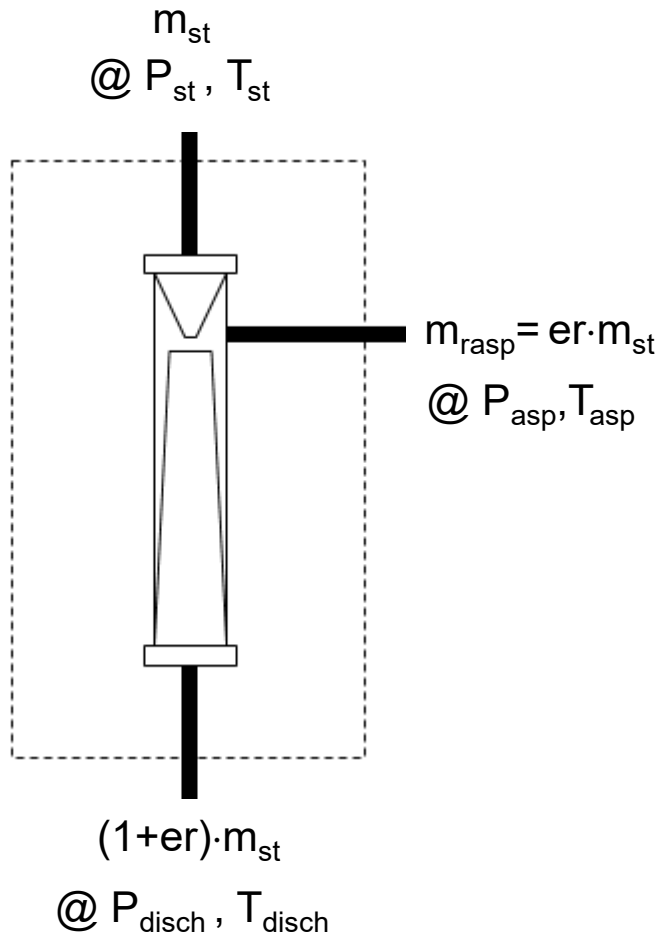
$$\begin{cases}
 h_{distch}(T_{distch}) = \frac{h_{st}}{1+er} + \frac{er \cdot h_{asp}}{1+er} \\
 s_{distch}(T_{distch}) = \frac{s_{st}}{1+er} + \frac{er \cdot s_{asp}}{1+er}
 \end{cases}$$

P_{disch}
 \Rightarrow
 Newton-Raphson
 er, T_{distch}



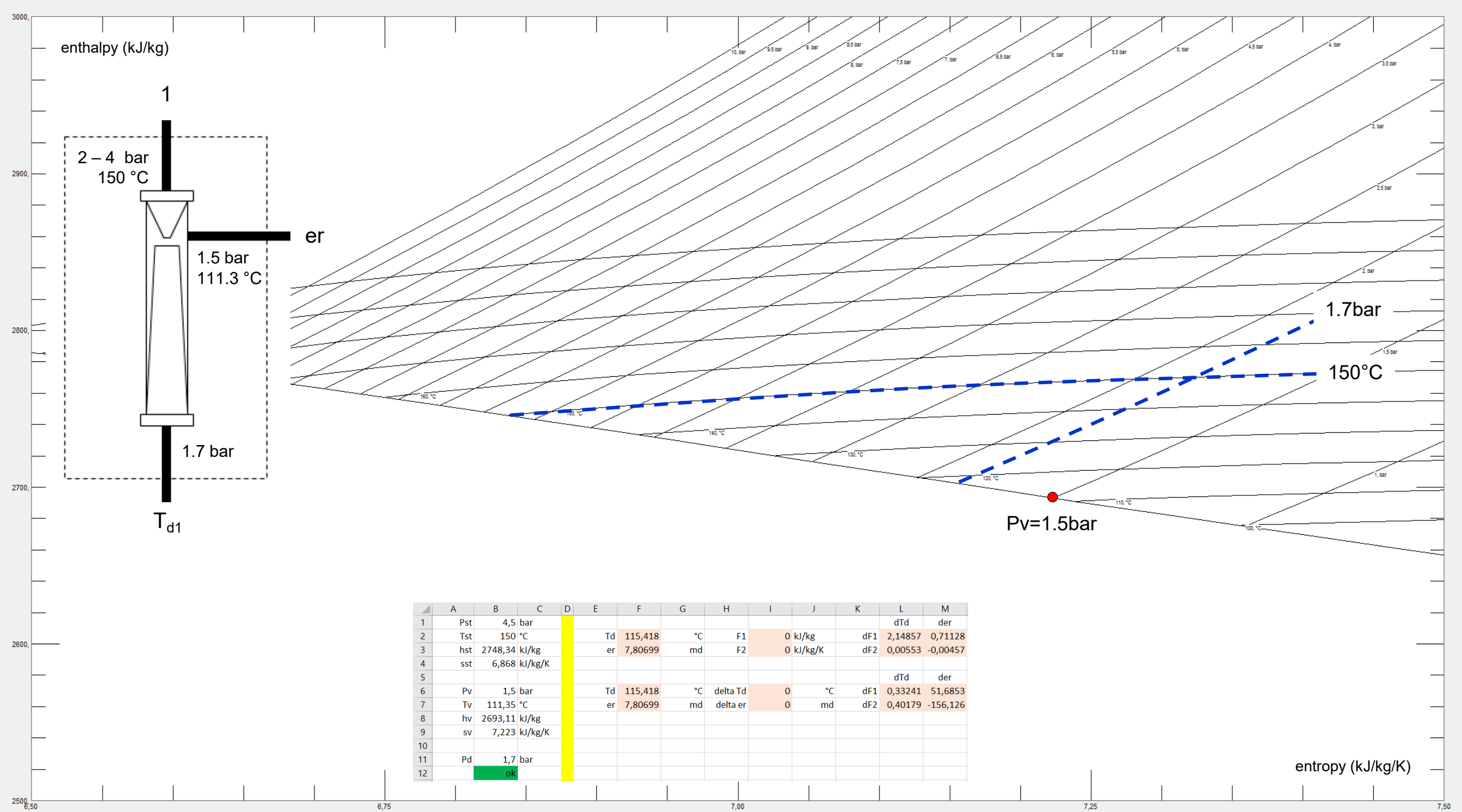
$$\left. \begin{aligned}
 h_{distch}(T_{distch}) &= \frac{h_{st}}{1+er} + \frac{er \cdot h_{asp}}{1+er} \\
 s_{distch}(T_{distch}) &= \frac{s_{st}}{1+er} + \frac{er \cdot s_{asp}}{1+er}
 \end{aligned} \right\} 2 \times 2$$

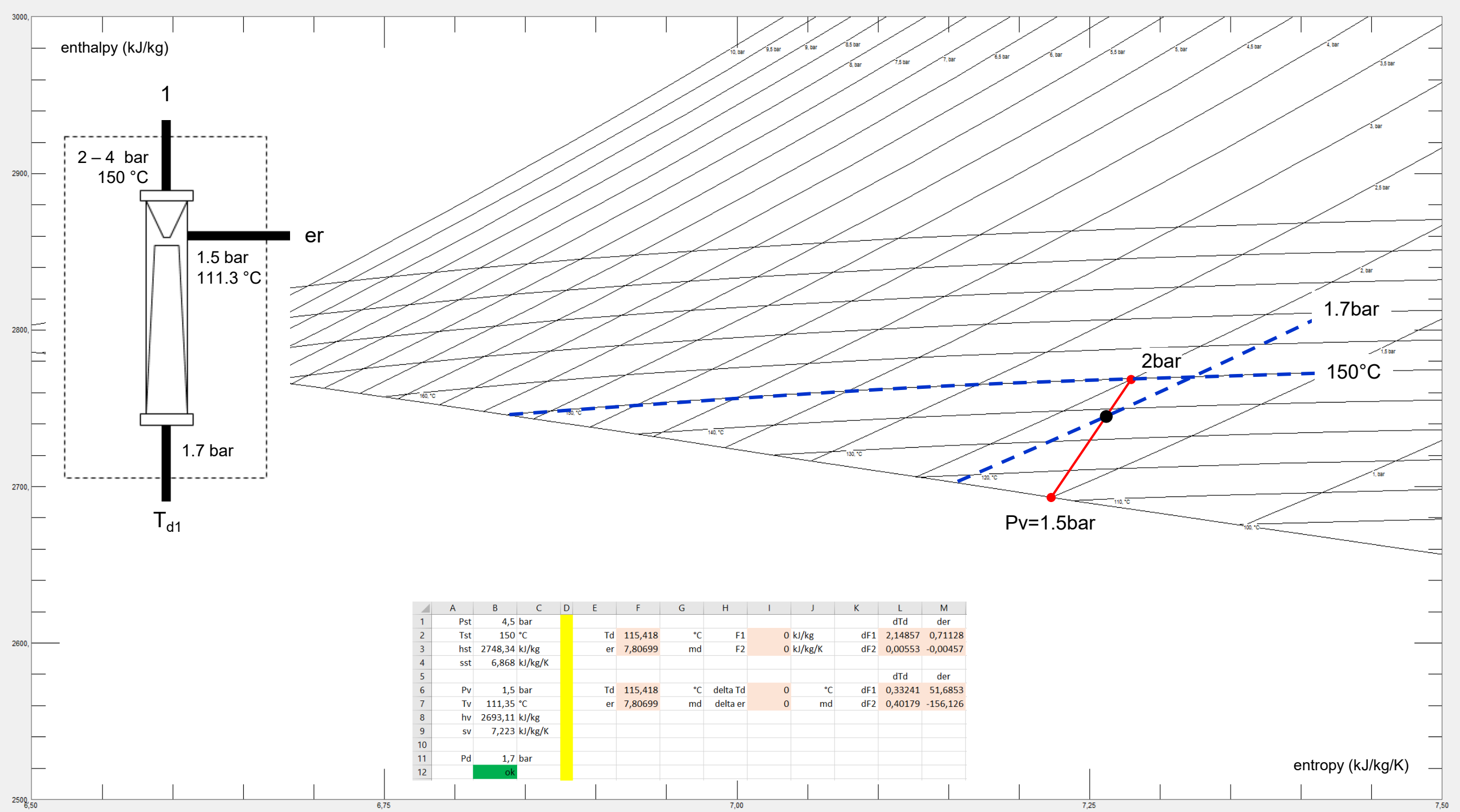
P_{disch} \Rightarrow er, T_{distch}
 Newton-Raphson

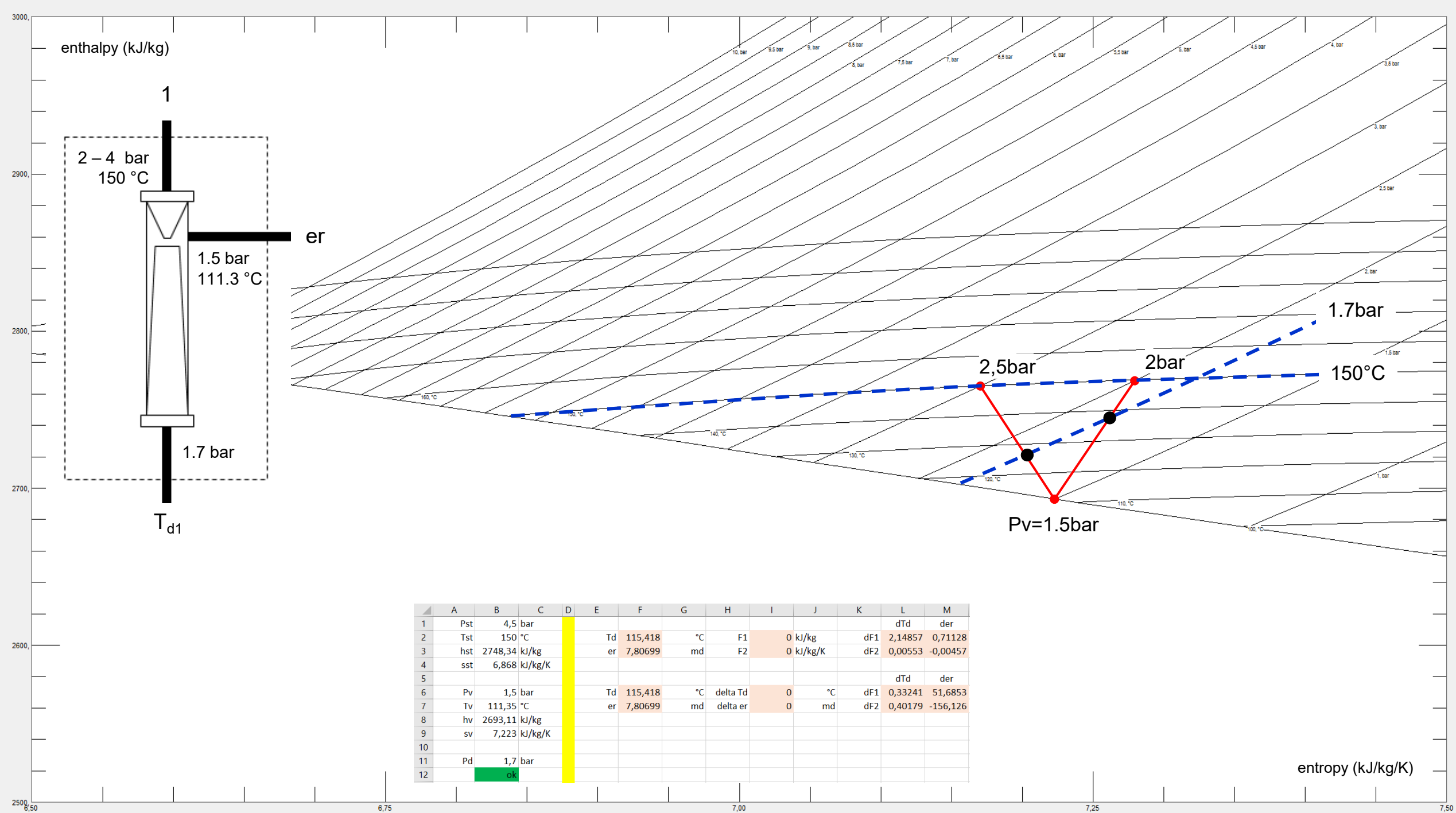


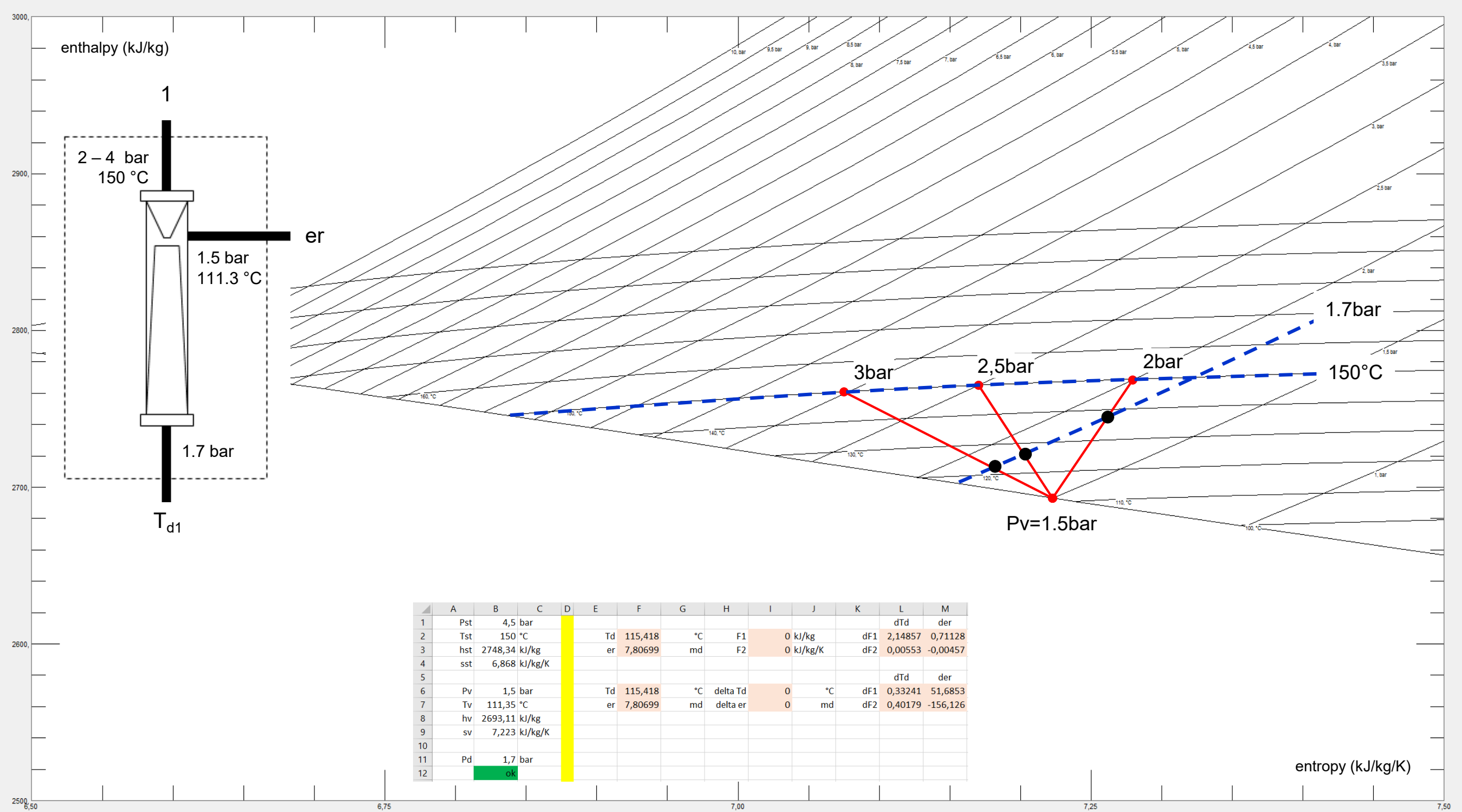
$$\left. \begin{aligned}
 h_{distch}(T_{distch}) &= \frac{h_{st}}{1+er} + \frac{er \cdot h_{asp}}{1+er} \\
 s_{distch}(T_{distch}) &= \frac{s_{st}}{1+er} + \frac{er \cdot s_{asp}}{1+er}
 \end{aligned} \right\} 2 \times 2$$

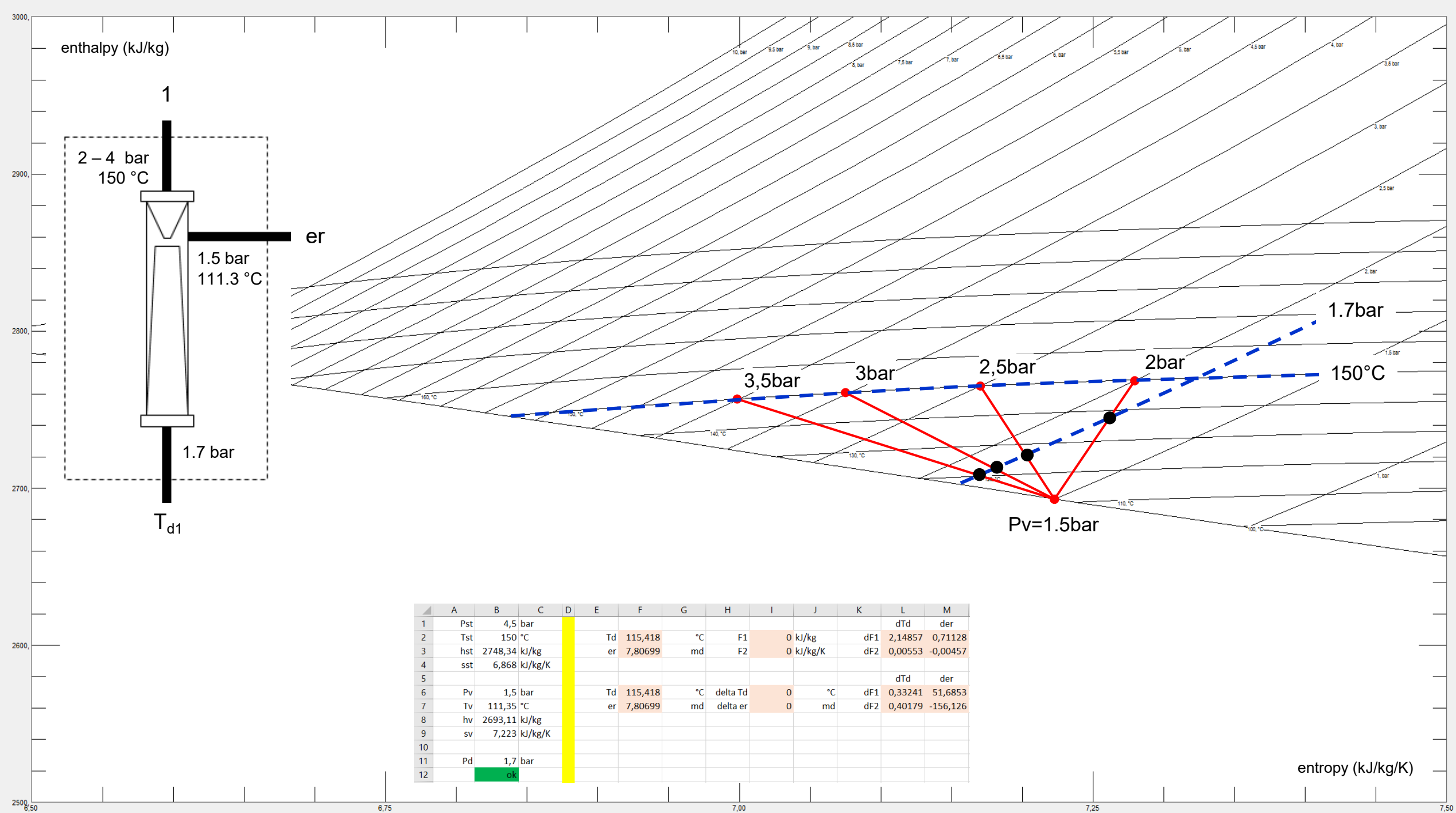
P_{disch} \Rightarrow er, T_{distch}
 Newton-Raphson

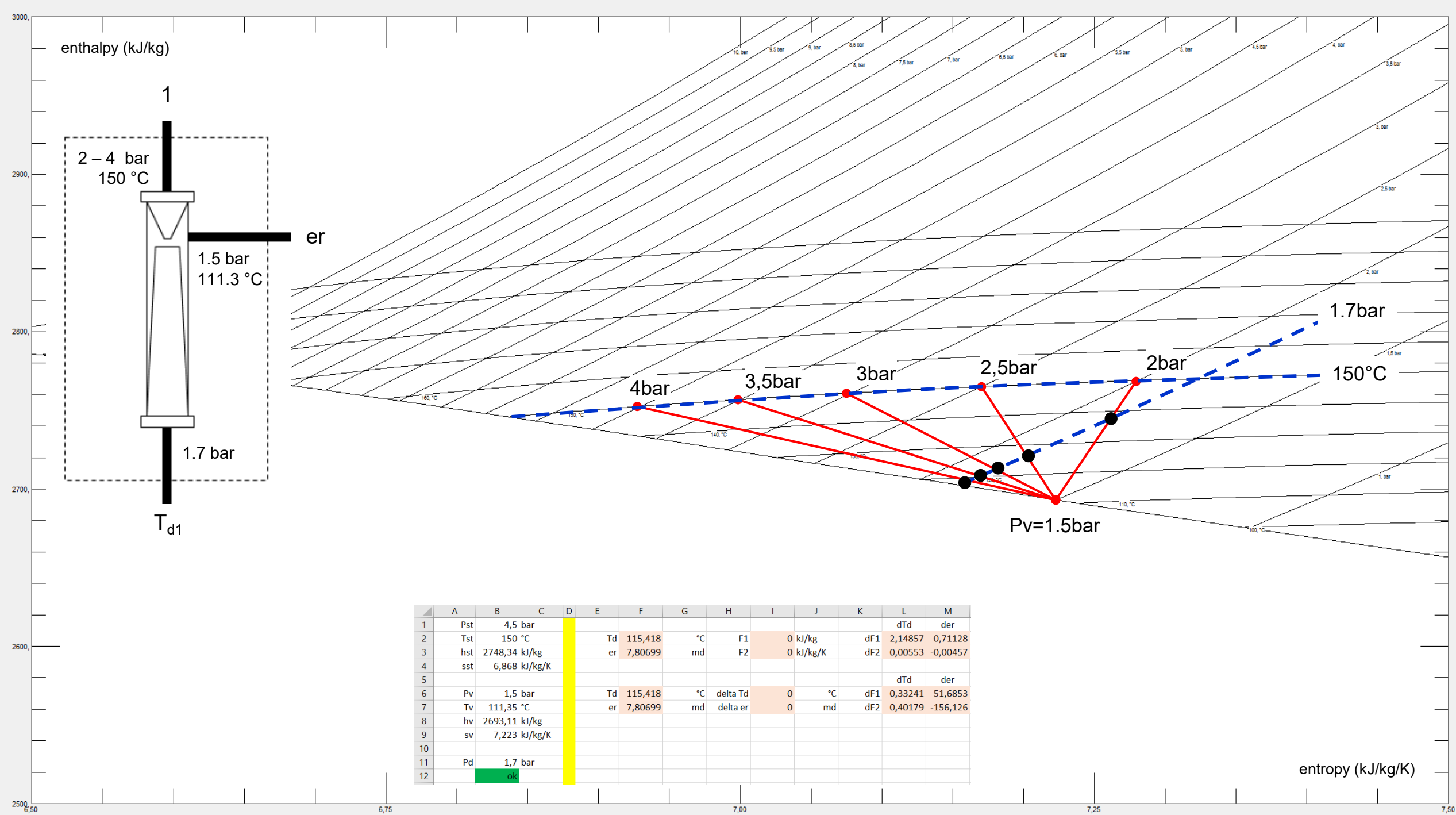
[illegible]

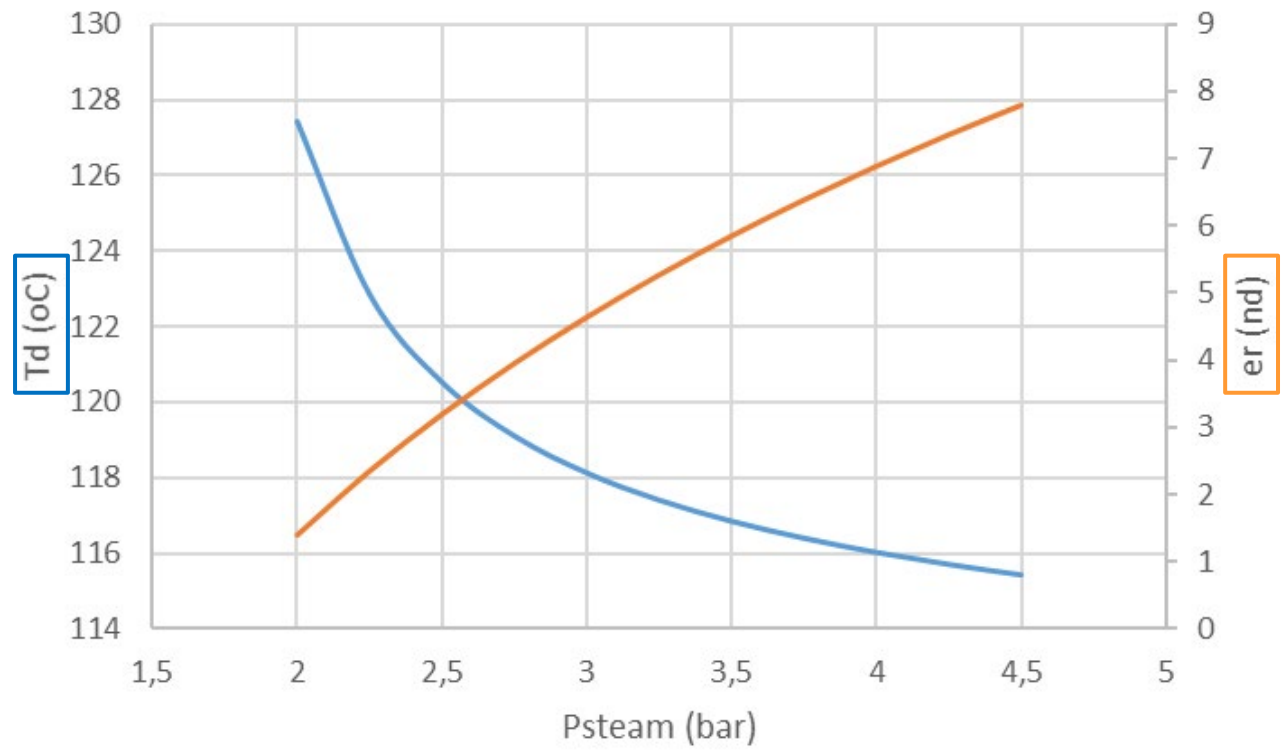
[illegible]

[illegible]

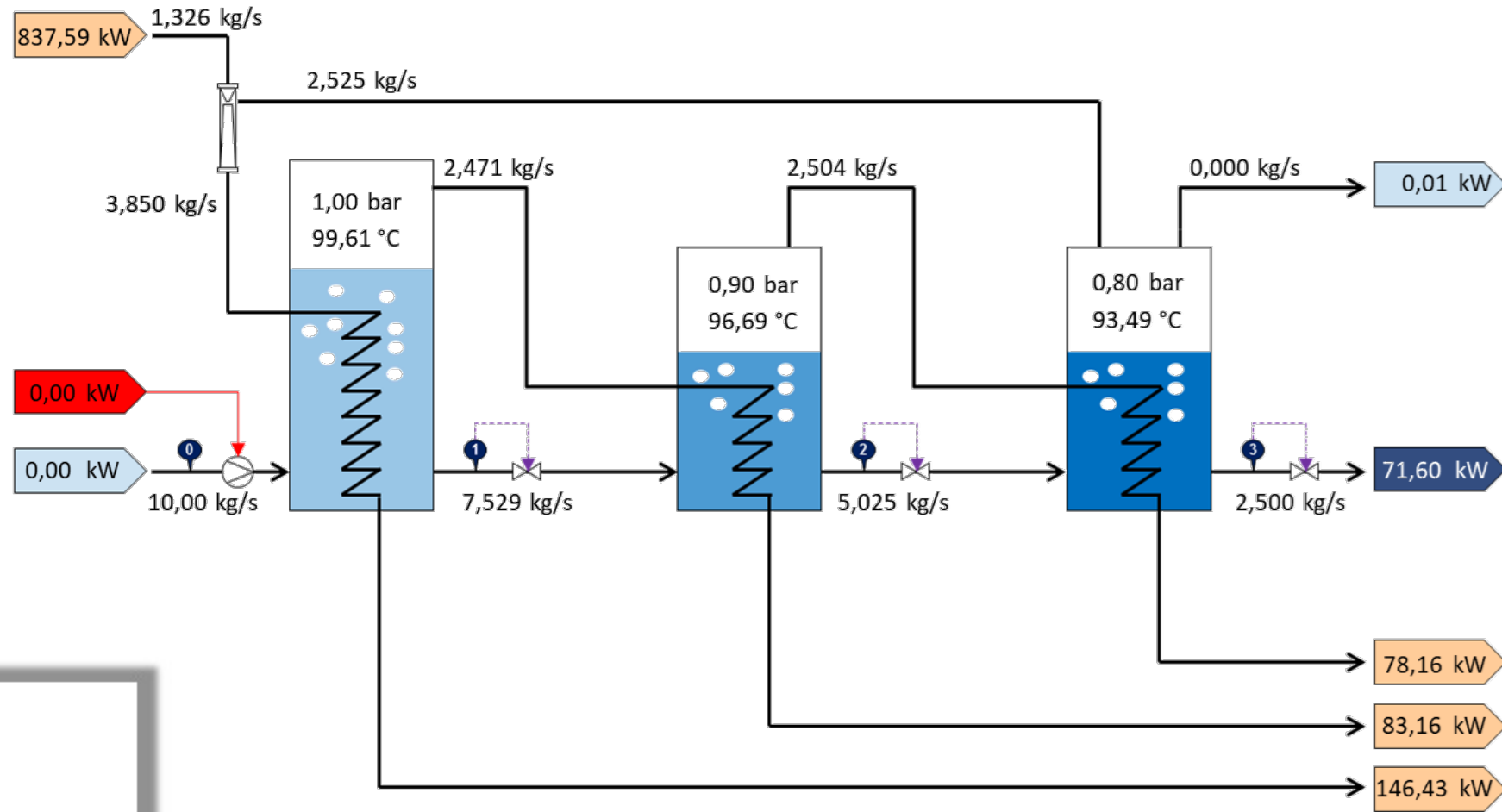
[illegible]

[illegible]

[illegible]

[illegible]

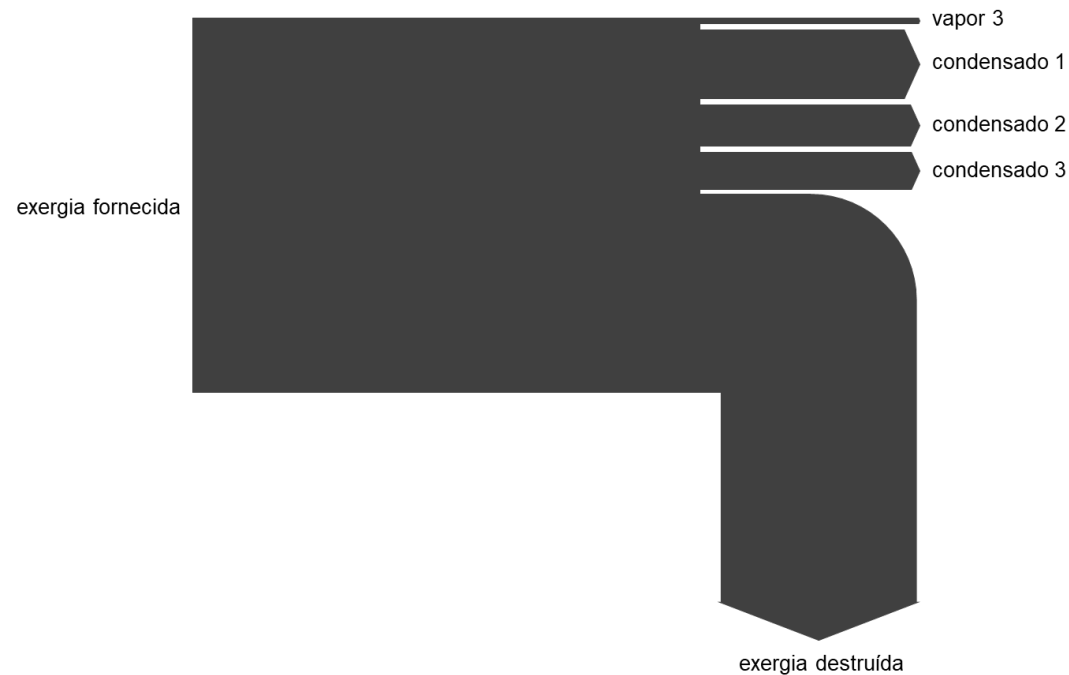
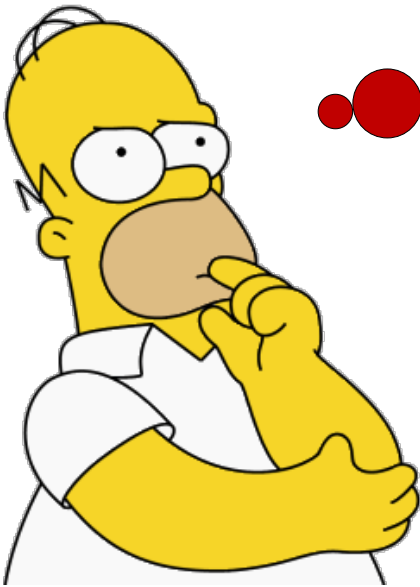
Inventário exergético global



$$ex_{dest} = 458 \text{ kW}$$



Mínima energia mecânica
necessária para o processo
de separação...
Manifestação da 2º Lei da
Termodinâmica !!!







Curso de Termodinâmica

EXERGIA

parte 2/2

aula 14/20

